

T.C.  
SÜLEYMAN DEMİREL ÜNİVERSİTESİ  
FEN BİLİMLERİ ENSTİTÜSÜ

SENİRKENT (ISPARTA) KUZEYİNDE YER ALAN VOLCANİK  
KÖKENLİ KAYAÇLARIN JEOLOJİSİ VE PETROLOJİSİ

HALİL İBRAHİM CESUR

Danışman: Yrd.Doç.Dr. ÖMER ELİTOK

YÜKSEK LİSANS TEZİ  
JEOLOJİ MÜHENDİSLİĞİ ANABİLİM DALI  
ISPARTA-2011

## İÇİNDEKİLER

	Sayfa
İÇİNDEKİLER .....	i
ÖZET .....	iii
ABSTRACT .....	v
TEŞEKKÜR .....	vii
ŞEKİLLER DİZİNİ .....	viii
ÇİZELGELER DİZİNİ .....	xi
1. GİRİŞ .....	1
1.1. Amaç .....	2
1.2. Coğrafi Durum .....	3
1.2.1. Morfoloji .....	3
1.2.2. İklim ve bitki örtüsü .....	4
1.2.3. Ulaşım, yerleşim ve ekonomik gelişim .....	4
2. KAYNAK ÖZETLERİ .....	5
3. MATERİYAL VE YÖNTEM .....	11
4. ARAŞTIRMA BULGULARI VE TARTIŞMA .....	12
4.1. Bölgenin Jeolojisi .....	12
4.1.1. Ayrılınmamış karbonatlar .....	13
4.1.1.1. Tanım ve adlama .....	13
4.1.1.2. Litoloji .....	13
4.1.1.3. Alt ve üst dokanak .....	15
4.1.1.4. Yaş .....	15
4.1.2. Dereköy Formasyonu .....	16
4.1.2.1. Tanım ve adlama .....	16
4.1.2.2. Litoloji .....	16
4.1.2.3. Yaş .....	17
4.1.3. İncesu Formasyonu .....	17
4.1.3.1. Tanım ve adlama .....	17
4.1.3.2. Litoloji .....	18
4.1.3.3. Alt ve üst dokanak .....	19
4.1.3.4. Yaş .....	19

4.1.4. Kızılçık Formasyonu .....	20
4.1.4.1. Tanım ve adlama .....	20
4.1.4.2. Litoloji .....	20
4.1.4.3. Alt ve üst dokanak .....	22
4.1.4.4. Yaş .....	24
4.1.4.5. Petrografi .....	25
4.1.5. Zendevi volkanitleri .....	30
4.1.5.1. Tanım ve adlama .....	30
4.1.5.2 Litoloji .....	31
4.1.5.3. Petrografi .....	32
4.2. Jeokimya .....	37
4.3. Tartışma .....	44
5. SONUÇLAR .....	47
6. KAYNAKLAR .....	49
EKLER .....	53
ÖZGEÇMİŞ .....	54

## ÖZET

### Yüksek Lisans Tezi

### **SENİRKENT (ISPARTA) KUZEYİNDE YER ALAN VOLKANİK KÖKENLİ KAYAÇLARIN JEOLOJİSİ VE PETROLOJİSİ**

**Halil İbrahim Cesur**

**Süleyman Demirel Üniversitesi  
Fen Bilimleri Enstitüsü  
Jeoloji Mühendisliği Anabilim Dalı**

**Danışman: Yrd. Doç Dr. Ömer Elitok**

Bu çalışma kapsamında Senirkent (Isparta) kuzeyinde yer alan yaklaşık olarak 350 km<sup>2</sup>'lik bir alanın jeolojisi ve bölgede yer alan volkanik kökenli kayaçların petrolojisi incelenmiştir. Bölgede yer alan kayaçlar ayrılmamış karbonatlar, Dereköy formasyonu, İncesu Formasyonu, Kızılçık Formasyonu, Alüvyon ve yamaç molozundan oluşmaktadır. Üst Kretase-Orta Eosen aralığını kapsayan ayrılmamış karbonatlar farklı renk tonu ve yapıda ve farklı karbonat fasiyesleri ile temsil edilmektedir. Üst Eosen yaşlı fliş karakterli Dereköy Formasyonu ayrılmamış karbonatlar üzerine uyumlu olarak gelmekte ve Orta yaşlı İncesu Konglomeraları tarafından yine uyumlu olarak üzerlenmektedir. Tüf, tüf breşi, aglomera gibi volkanik kökenli kayaçlardan oluşan ve içerisinde yer yer değişik tane boylu kireçtaşları kırıntılarından oluşan, genel olarak orta-kalın katmanlanma sunan birim Kızılçık Formasyonu olarak ayrılmıştır. Yine tüm birimleri keserek çıkan volkanik boyun, lav domu şeklinde yüzeyleme veren volkanik kayaçlar Zendevi volkanitleri olarak ayrılmıştır. Volkanik kökenli kayaçlar genel olarak trakit, lösit fonolit, fonotefrit bileşimlidir. Tüm volkanik kayaçların K<sub>2</sub>O içerikleri Na<sub>2</sub>O'den daha yüksek olup potasik karakter taşımaktadırlar. Volkanitler iri katyonlu litofil element (LILE) ve hafif nadir toprak element (LREE) açısından zenginleşme göstermektedirler (trikitlerde Ba:1826-2104 ppm; Sr:1292-1376 ppm; Rb:228-275 ppm ve (La/Sm)<sub>n</sub>: 3.71-5.86; (La/Yb)<sub>n</sub>:7.17-15.78; fonotefritlerde Ba:6374-64.39 ppm; Sr: 1558-1812 ppm; Rb:708-731 ppm ve (La/Sm)<sub>n</sub>:3.71-3.88; (La/Yb)<sub>n</sub>: 4.12-4.31); lösit fonolitlerde (Ba:5077-5321 ppm; Sr:2146-2354 ppm; Rb:370-948 ve

$(La/Sm)_n$ :5.48-5.86;  $(La/Yb)_n$ :25.29-27.09). Primitiv mantoya göre normalize edilmiş spider diyagramlarında tüm kayaç örnekleri negatif Nb-Ta-Ti anomalisi göstermektedirler. Tüm petrolojik veriler Senirkent kuzeyinde yer alan potasik karakterli volkanik kökenli kayaçların yitim zonundan etkilenmiş metasomatize mantodan türediklerine işaret etmektedir.

**Anahtar kelimeler:** Senirkent, Isparta Büklümü, potasik, trakit, volkanik

**2011, 56 sayfa**

## **ABSTRACT**

**M.Sc. Thesis**

### **GEOLOGY AND PETROLOGY OF VOLCANIC ROCKS BASED NORTH OF SENIRKENT (ISPARTA)**

**Halil İbrahim Cesur**

**Süleyman Demirel University  
Graduate School of Applied and Natural Sciences  
Geology Engineering Department**

**Supervisor: Yrd. Doç. Dr. Ömer ELİTOK**

In this study, petrology of volcanogenic rocks and geology of an area in the North of Senirkent (Isparta). Rock units in the study area are grouped in to: undifferentiated carbonate rocks, Dereköy Formation, İncesu Formation, Kızılçık Formation, Quaternary and slope basin deposits. Upper Cretaceous-Middle Eocene aged undifferentiated carbonate rocks are represented by different color, structure and carbonate facies. Upper Eocene Dereköy Formation in flysch character overlie conformably the undifferentiated carbonate rocks and overlain overlie conformably by the İncesu conglomerates. The Kızılçık Formation consists mainly of tuff, tuff breccia, agglomerates, in places carbonate pebbles dominated layers and display moderate bedding in the field. The Zendevi volcanites in the composition of trachyte, leucite phonolite and phonotephrite are observed lava flow domes and volcanic necks. Volcanogenic rocks have higher  $K_2O$  than  $Na_2O$  and reflect potassic character. They are enriched in LILEs and LREEs (in trachytes Ba:1826-2104 ppm; Sr:1292-1376 ppm; Rb:228-275 ppm and  $(La/Sm)_n$ : 3.71-5.86;  $(La/Yb)_n$ :7.17-15.78; in phonotephrites Ba:6374-64.39 ppm; Sr: 1558-1812 ppm; Rb:708-731 ppm ve  $(La/Sm)_n$ : 3.71-3.88;  $(La/Yb)_n$ : 4.12-4.31); lösit fonolitlerde (Ba:5077-5321 ppm; Sr:2146-2354 ppm; Rb:370-948 and  $(La/Sm)_n$ :5.48-5.86;  $(La/Yb)_n$ :25.29-27.09). On the primitive mantle-normalized spider diagram, they are characterized by negative Nb-Ta-Ti anomaly. All petrological data indicate that the volcanogenic rocks in the North of Senirkent (Isparta) have been derived from the subduction-related metasomatic mantle source.

**Key words:** Senirkent, Isparta Angle, potassic, trachyte, volcanic

**2010, 56 pages**

## **TEŞEKKÜR**

Bu tez Süleyman Demirel Üniversitesi Bilimsel Araştırma Koordinasyon Birimi tarafından desteklenen 1994-YL-09 nolu proje tarafından desteklenmiştir.

Süleyman Demirel Üniversitesi Fen Bilimleri Enstitüsü Jeoloji Mühendisliği Anabilim Dalı'nda gerçekleştirilen bu tez çalışması değişik aşamalardaki destek ve katkılarının bir sonucudur. Öncelikle proje kapsamındaki desteklerinden dolayı Süleyman Demirel Üniversitesi Bilimsel Araştırma Koordinasyon Birimi'ne teşekkürü bir borç bilirim. Tez konusunun seçiminden, bitime kadar her aşamada araştırmalarımı yönlendiren, gerek arazi çalışmaları gerekse laboratuar çalışmaları esnasında, ayrıca petrografik incelemelerde ve dataların yorumlanması bilimsel yardımlarını esirgemeyen danışmanım Yrd.Doç.Dr. Ömer ELİTOK'a teşekkürlerimi sunarım. Haritaların hazırlanmasında ve tez yazım çalışmaları sırasında yardımlarını gördüğüm H. Rifat ÖZSOY'a teşekkürlerimi sunarım.

Halil İbrahim CESUR  
ISPARTA, 2011

## ŞEKİLLER DİZİNİ

Şekil 1.1. İnceleme alanının da içerisinde yer aldığı güneybatı Türkiye'nin basitleştirilmiş jeoloji haritası .....	2
Şekil 1.2. Kırka-Afyon-Isparta Volkanik Provensi .....	3
Şekil 1.3. İnceleme alanı güneyinde yer alan Senirkent Grabeni'nin görünümü .....	4
Şekil 4.1. İncelee alanına ait stratigrafik sütun kesit .....	12
Şekil 4.2. Ayrılmamış Karbonatlarda gözlenen kırık ve çatlaklar (Başköy doğusu) ...	14
Şekil 4.3. Ayrılmamış Karbonatlarda gözlenen kırmızı pembemsi ince katmanlı ve mikro kıvrımlı kireçtaşları (Çiğdemtepe).....	14
Şekil 4.4. Başköy kuzeyinde Ayrılmamış Karbonatlar üzerine gelen Dereköy Formasyonu ve Kızılçık Formasyonu.....	15
Şekil 4.5. (a) Dereköy kuzeyinde ve (b) Uluğbey civarında gözlenen Dereköy Formasyonu .....	17
Şekil 4.6. Dereköy kuzeyinde orta-iyi yuvarlaklaşmış İncesu Formasyonu'na ait konglomeralar ..	18
Şekil 4.7. Dereköy Formasyonu üzerine uyumsuz olarak gelen orta-kalın katmanlı İnce Formasyonu konglomeralleri.....	19

Şekil 4.8. Kızılçık Formasyonunu oluşturan tüfitlerde dikey yönde gözlenen hem renk hem de tane boyutu açısından değişimler .....	22
Şekil 4.9. a) Kızılçık Formasyonunda tüfitler içerisinde yuvarlaşmış çamur topçukları, b,c,d) tüfitler içerisinde dairesel ya da elipsoidal yapıda iri kalsit dolguları,e,f) kireçtaşırı kırıntıları .....	23
Şekil 4.10. Dereköy Formasyonu üzerine gelen Kızılçık Formasyonu, a)Uluğbey kuzeyi, b) Başköy kuzeyi ..	24
Şekil 4.11. Piroklastikler içinde lösit fonolitlerde yer alan lösit kristalleri ..	27
Şekil 4.12. Piroklastikler içinde lösit fonolitlerde koroziona uğramış flogopit kristalleri .....	27
Şekil 4.13. Piroklastikler içinde lösit fonolitlerde lösit, apatit, klinopiroksen kristalleri .....	28
Şekil 4.14. Piroklastikler içinde lösit fonolitlerde lösit, kenarlarından itibaren koroziona uğramış klinopiroksen kristalleri .....	28
Şekil 4.15. Küçük Kabaca kuzeyinde Dereköy Formasyonu'nu kesen traktik lav çıkışı .....	31
Şekil 4.16. Lösit fonolitlerde lösit ve piroksen kristalleri ..	33
Şekil 4.17. Lösit fonolitlerde piroksen ve lösit kristalleri ..	33
Şekil 4.18. Akma dokusu sunan traktit .....	34
Şekil 4.19. Traktit içerisinde sanidin fenokristalleri ve akma dokusu .....	34

Şekil 4.20. Trakit içerisinde klinopiroksen ve sanidin fenokristalleri .....	35
Şekil 4.21. Trakit içerisinde sanidin fenokristalı ..... ....	35
Şekil 4.22. Trakit içerisinde klinopiroksen fenokristali ve matriksde gözlenen akma dokusu .....	36
Şekil 4.23. Lösit fonolitlerde yer alan lösit ve sanidin fenokristalleri .....	37
Şekil 5.1. İnceleme alanında yer alan volkanik kökenli kayaçların TAS (Toplam Alkali-Silika) diyagramındaki konumları .....	40
Şekil 5.2. İnceleme alanında yer alan volkaniklerin $\text{Na}_2\text{O}+\text{K}_2\text{O}/\text{SiO}_2$ (Irvine ve Baragar,1971) diyagramında konumları .....	40
Şekil 5.3. $\text{K}_2\text{O}/\text{Na}_2\text{O}$ diyagramında (Middlemost, 1975) inceleme alanında yer alan volkaniklerin konumları .....	41
Şekil 5.4. İnceleme alanında yer alan volkanik kökenli kayaçların Kondrite göre normalize edilmiş nadir toprak elementlerinin dağılımı.....	42
Şekil 5.5. İnceleme alanında yer alan volkanik kökenli kayaçların Primitiv mantoya göre normalize edilmiş spider diyagramındaki konumları .	43

## **ÇİZELGELER DİZİNİ**

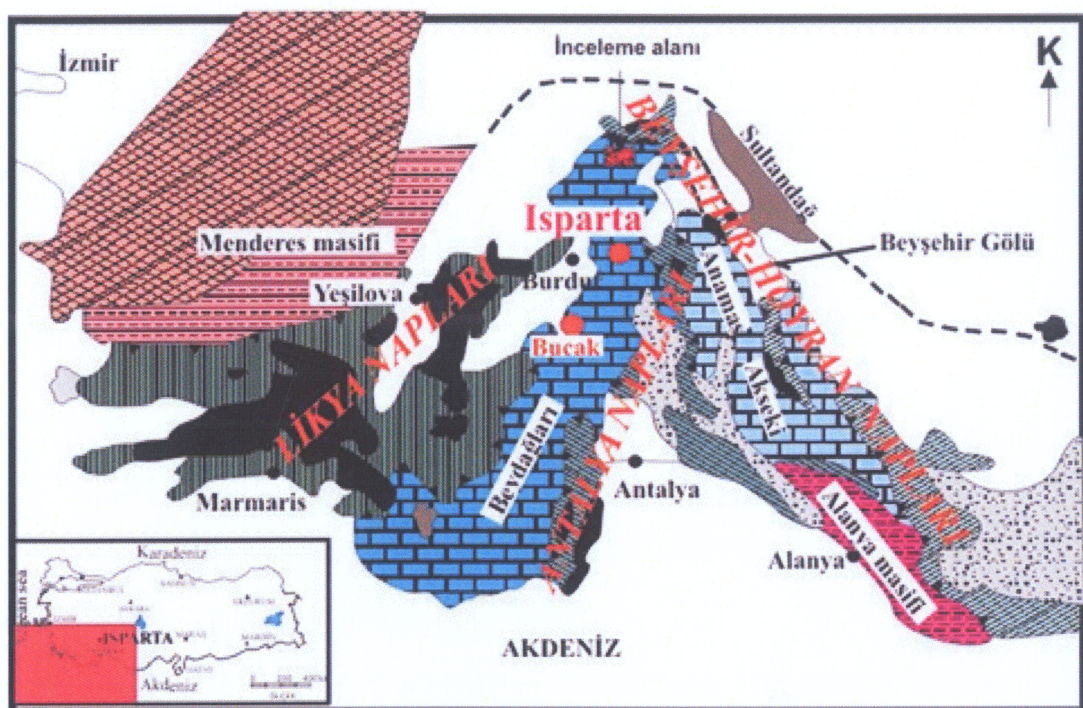
Çizelge 5.1. Kızılçık Formasyonu içerisinde yer alan volkanik kökenli bileşenlerin  
ve Zendevi volkanitlerinin major, minör ve iz element içerikleri .....38

## 1. GİRİŞ

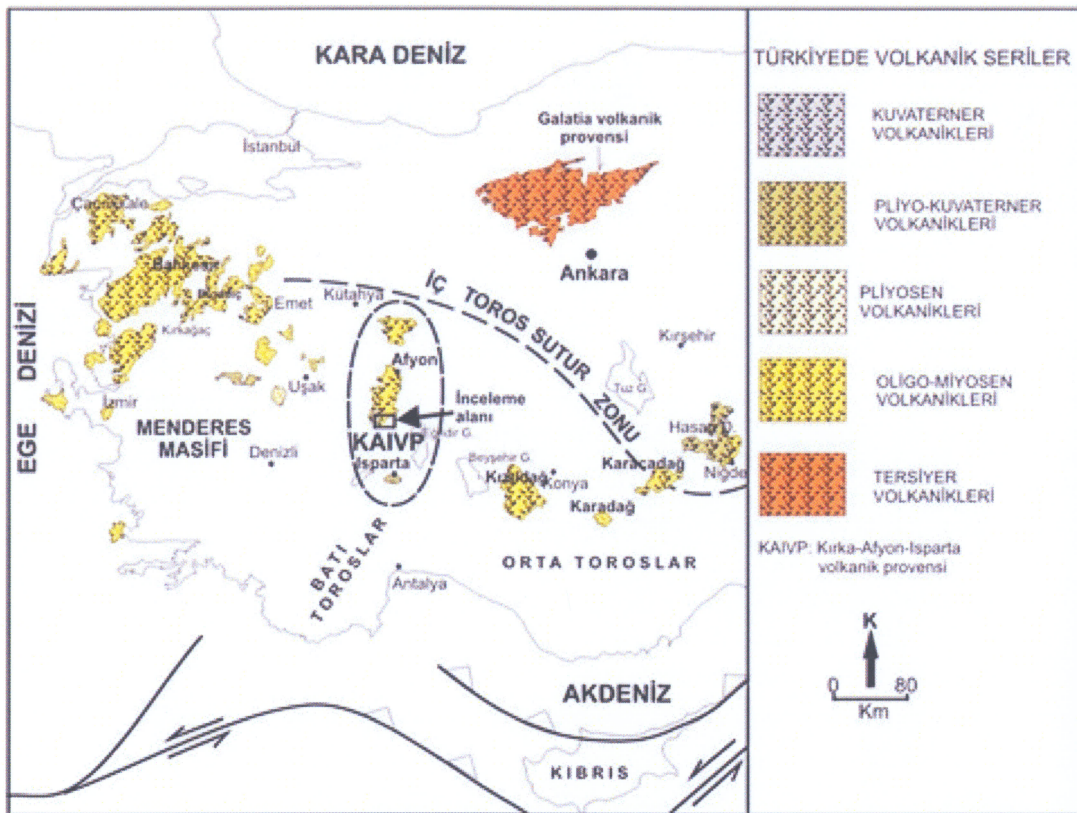
Güneybatı Türkiye'de KD-GB doğrultulu Beydağları otoktonu ile KB-GD doğrultulu Anamas-Akseki otoktonu Isparta civarında birleşerek ters 'V' şeklinde bir yapı oluşturmaktır ve bu yapı Isparta Büklümü olarak adlandırılmaktadır. Bu çalışmanın konusunu oluşturan Senirkent (Isparta) kuzeyinde yer alan volkanikler Beydağları otoktonu ile Anamas-Akseki otoktonunun birleştiği büklüm bölgesinin hemen kuzeyinde yer almaktadır (Şekil 1.1). Gölcük volkaniklerinin de (Isparta) içerisinde yer aldığı Isparta Büklümü'nün kuzey kısmı ile Afyon arasında yer alan volkanikler Kırka-Afyon-Isparta (KAI) Volkanik Provensi olarak tanımlanmıştır (Francalancı vd., 2000). Senirkent (Isparta) kuzeyinde yer alan inceleme alanı Kırka-Afyon-Isparta volkanik provensi içerisinde kalmaktadır (Şekil 1.2). Kırka-Afyon-Isparta volkanik provensi genel olarak potasik-ultrapotasik kayaçlarla temsil edilmektedir (Francalancı vd., 2000; Alıcı vd., 1998).  $K_2O$  içeriği  $Na_2O$ 'den fazla olan ya da  $K_2O/Na_2O$  oranı  $\geq 1$  olan magmatik kayaçlar genel olarak potasik kayaçlar olarak tanımlanmaktadır. Hem  $K_2O$  içeriği hem de  $MgO$  içeriği 3'ün üzerinde olan ve  $K_2O/Na_2O$  oranı 2' nin üzerinde olan kayaçlar ultrapotasyumlu kayaçlar olarak sınıflandırılmıştır (Foley vd., 1987). Potasik magmatik kayaçlar konverjan levha kenarlarında (orogenik) ya da çarışma sonrası gerilme tektoniğinin hakim olduğu bölgeler ile gerilme rejiminin etkin olduğu stabil kıta içi ortamlarda (anorogenik) gelişebilmektedir (Pecerillo vd., 1984; Poli vd., 1984; Beccaluva vd., 1991; Van Bergen vd., 1992; Nelson, 1992). Batı Akdenizden başlayarak doğu Asya'ya kadar uzanan ve Türkiye'nin de içerisinde yer aldığı tüm Alp-Himalaya kuşağı boyunca orogenik ve anorogenik potasik-ultrapotasik volkanik kayaçlara rastlanmaktadır (Ding vd., 2003; Pecerillo ve Martinotti, 2006; Lustrino vd., 2007). İnceleme alanı içerisinde yer alan volkanik kökenli kayaçlar genel olarak potasik karakterli volkanik kayaçlardır. Dolayısı ile bölgenin söz konusu potasik karakterli volkanik kayaçların bölgenin tektonomagmatik evrimi içerisinde incelenmesi önem taşımaktadır.

## 1.1. Amaç

İnceleme alanı Isparta Büklümü kuzey kesiminde ve Kırka-Afyon-Isparta Volkanik Provensi İçerisinde yer almaktadır (Şekil1.2). Bölgede akarsu ve göl ortamında çökelmiş piroklastikler ve potasik-ultrapotasik karakterde volkanik kayaçlar da yer almaktadır. Senirkent (Isparta) kuzeyinde yer alan piroklastik kayaçların ve bunlar içerisinde yer alan potasik-ultrapotasik karakterde volkanik kayaçların jeoloji, mineraloji, petrografisinin incelenmesi ve bölgenin tektonik gelişimi içerisinde volkanik kayaçların tektonomagmatik ortam açısından yorumlanması bu çalışmanın amacını oluşturmaktadır.



Şekil 1.1. İnceleme alanının da içerisinde yer aldığı güneybatı Türkiye'nin basitleştirilmiş jeoloji haritası (Juteau'dan 1980)



Şekil 1.2. Kırka-Afyon-Isparta Volkanik Provensi (Elitok vd., 'den 2010)

## 1.2. Coğrafi Durum

### 1.2.1. Morfoloji

İnceleme alanı Isparta Büklümü'nün kuzey kesiminde ve Hoyran Gölü'nün kuzeybatısında yer almaktadır. Güneyde Senirkent grabeni (Şekil 1.3) ve kuzeyde Karadilli grabeni arasında kalan yükseltileri kapsamaktadır. Bölgedeki önemli yükseltileri Kale T. (1222 m.), Dedemoyu T.(1206 m.), Oyuklusenir T. (1393 m.), Sinanseki T. (1557 m.), Almacık T. (1681 m.), Velibaba T. (1656 m.), Çalı T. (1381 m.), Doluluyurt T. (1663 m.), Kara T. (1298 m.), Nergele T. (1256 m.), Karağuz T. (1343 m.), Başbüyük T. (1307 m.), Karşıyaka T. (1276 m.), Çalbalı T. (1956 m.), Gök T. (1992 m.), Terzikayası (1702 m.), Karaağıl T. (1889 m.), Yeşilce T. (1492 m.), Çalcıyakası T. (1781 m.), Bostanseki T. (1521 m.), Üçtepeler (1304 m.), Takka T. (1317 m.).



Şekil 1.3. İnceleme alanı güneyinde yer alan Senirkent Grabeni'nin görünümü

### 1.2.2. İklim ve bitki örtüsü

İnceleme alanı, coğrafi açıdan Akdeniz Bölgesinde bulunmasına rağmen, deniz seviyesinden olan yüksekliği ve Batı Torosların konumu nedeniyle İç Anadolu'nun karasal iklimi ile Akdeniz iklimi arasında geçiş iklimine sahip olup Göller bölgesinin karakteristik özelliğini taşımaktadır. Bölgede yaz ayları sıcak ve az yağışlı, kış ayları soğuk ve yağışlı geçmektedir. İlkbahar ve sonbahar ayları ise ılıman ve yağışlı bir iklim karakterindedir Bölgenin büyük bir kesimi çiplaktır. Senirkent ovası alüvyon düzlüğü teşkil etmekte ve önemli ölçüde tarım alanı olarak kullanılmaktadır.

### 1.2.3. Ulaşım, yerleşim ve ekonomik gelişim

İnceleme alanı Senirkent ve Uluborlu kuzey kesimlerini kapsamaktadır. Ulaşım Isparta-Eğridir, Isparta-Uluborlu yolu ile sağlanmaktadır. Ayrıca Uluğbey ile Tatarlı arasında yer alan karayolu ile sağlanmaktadır. İnceleme alanında en önemli yerleşim birimleri Küçükabaca, Uluğbey, Büyükkabaca köyleridir. Ortalama nüfus yoğunluğu düşük olup çoğu mahalleler ekonomik yetersizlikten boşalmıştır. Bölgenin ekonomisi büyük ölçüde hayvancılık ve tarıma bağlıdır. Meyvecilik ve özellikle üzümçülük gelişmiştir. Endüstri ise şu ana kadar buralara girmemiştir.

## **2. KAYNAK ÖZETLERİ**

Çalışma alanı ve çevresinde bugüne kadar birçok yerli ve yabancı araştırcı jeolojik, mineralojik, tektonik, jeokimya ile ilgili araştırmalar yapmıştır. Bunlardan ilgili olanlar aşağıda sunulmuştur.

Ronner (1962), Neojen çökellerden oluşan Sandıklı ovasının normal fay sistemleri ile sınırlandıklarını ve oluşan kırık sistemlerinden lavların çıkarak göl içinde aktıklarını ifade etmiştir. Bu lav akışlarına piroklastik çökellerin eşlik ettiğini ve daha sonra yeniden çatlaklar boyunca bol silisli eriyiklerin çıkarak çökel kayaçları silisleştirdiklerini belirtmiştir.

Öngür (1973), Sandıklı (Afyon güneyi) çevresinde yer alan volkanik kayaçların jeolojisi ile ilgili çalışmalar yapmıştır. Bu bölgedeki volkanik ürünlerin yaygın olarak piroklastiklerden meydana geldiğini ve bu piroklastiklerin de genel olarak lapilli, süngetaşı, tuf breşlerinden oluştuğunu belirtmiştir. Piroklastiklerin oluşumları bakımından ignimbritik bileşimde piroklastik akma çökellerinden oluştuğunu ortaya koymuştur. Ayrıca volkaniklerin toleyitik bazaltik bir mağmanın farklılaşması ve yan kayaç (kireçtaşı) asimilasyonu ürünü olduklarını ileri sürmüştür.

Besang (1977), Afyon bölgesindeki volkanikler üzerinde K-Ar yöntemi ile yaş tayini çalışmaları yapmıştır. Bölgedeki volkaniklerin 14,7 ile 8,6 my arasında değiştğini ve volkanizmanın Orta Miyosen'in sonlarına doğru başlayıp tüm üst Miyosen boyunca devam ettiğini belirlemiştir.

Koçyiğit (1980), Hoyran Gölü yoresinin (Afyon - Isparta) stratigrafik ve tektonik özellikleri konulu doçentlik tezinde, Geç Miyosen - Pliyosen boyunca akarsu yatağı ve göl ortamlarından bir taraftan karasal sedimanlar çökelirken, diğer taraftan volkanizmanın oluştuğunu belirtmiştir. Daha yaşlı birimleri açılı uyumsuzlukla üstleyen, birbirleriyle yanal ve düşey geçişli, diklik eteği deposu, akarsu yatağı, delta ve göl oluşu özelliğindeki sedimanlarla; trakit, löosit, tuf ve aglomeralarla temsil edilen bu volkanik birimi Kızılçık formasyonu olarak adlandırmıştır.

Başarır ve Kun (1982), Afyon il merkezi ve çevresinde yer alan volkanik kayaçların petrolojisini incelemiş ve bu volkaniklerin alkalen karakterde olduklarını ortaya koymuştur.

Keller (1983), Afyon, Sandıklı, Şuhut ve Isparta volkaniklerinde Sr izotop ve kayaç kimyasal analizleri gerçekleştirerek volkanitlerin potasik ve yüksek potasik (çoğunlukla lösit içeren) karakterli olduklarını ifade etmiştir

Koçyiğit (1983), Hoyran Gölü dolayının tektonik gelişimini üç ayrı tektonizma dönemine ayırmıştır: i) Eski tektonik dönem: Liyas-Maastrichtiyen aralığında duraylı uzun bir dönem ve Hoyran karbonat platformunun gelişimi, Maastrichtyen-Lütesyen aralığında etkisi gittikçe artan ve karbonat platformunun parçalanması ile karakterize olan çekme tektoniği evresi, ii) Geçiş dönemi: Üst Lütesyen sonu ile Orta Oligosen sonu aralığında molas oluşumu ile karakterize olmakta, iii) Yeni tektonik dönem: Orta Oligosen sonu ile günümüz aralığını kapsayan dönemde bölgesel kabarma, blok faylanma, alkalen volkanizma faaliyetleri ile temsil edilmektedir.

Keller (1983), Anadolu'daki volkaniklerin genel olarak silisik ignimbiritlerle birlikte yüksek potasyum (HK) kalkalkalen andezit ve dasit bileşimli olduklarını, Konya yöresindeki volkaniklerin kıtasal kalkalkalen ya da "And tipi" volkaniklere tipik bir örnek oluşturduğunu, Afyon volkaniklerini de içerisinde alan Anadolu'nun büyük bir kesimindeki volkaniklerin kaynağının dahan litosferden türeyen LIL elementlerce zenginleşmiş manto kaynağı olduğunu ifade etmiştir.

Koçyiğit (1984a), Güneybatı Türkiye'nin tektoniği ile ilgili yaptığı çalışmada güneybatı Türkiye'nin Tortoniyen sonunda tümüyle yükselmeye başladığını ve günümüzde de etkinliğini sürdürmekte olan çekme tektoniği rejimine girdiğini belirtmiştir. Gerilme tektonüğine bağlı olarak bölgenin blok faylanmaya uğradığını ve değişik doğrultularda birbirlerini kesen normal fayların gelişliğini belirtmiştir. Ayrıca bölgenin eski, geçiş ve yeni tektonik dönem olmak üzere üç döneme ayrıldığını, yeni tektonik dönemin Üst Miyosen-Alt Pliyosen'de gelişliğini ve bu dönemde çekme tektonüğine de bağlı olarak karasal tortullaşma ile yaşit kitia içi volkanizma ve blok

faylanmalarının belirginlik kazandığını belirtmiştir. Araştırmacı Senirkent kuzeyinde karasal volkanizmanın lösitik, trakitik bileşimde ve potasik karakterde olduğunu, bunların bacalar şeklinde horst-graben sisteme bağlı bir basende gölsel sedimanlarla birlikte bulunduğu vurgulamıştır.

Koçyiğit (1984b), Isparta Büklümü kuzeyinde Hoyran Gölü civarında yüzeyleyen kayaçların tektonostratigrafik özelliklerini incelemiştir. Bölgedeki kaya birimlerini 11 formasyon ve 15 ümeye ayırmıştır. Bunlardan Kızılçık formasyonu içerisinde ayırtlamış olduğu Zendevi üyesi genel olarak tuf, aglomera, lösit, löosit içeren trakit, egirin içeren trakit, trakit gibi volkanik kayaçlardan oluşmaktadır.

Çevikbaş vd., (1988), Afyon-Şuhut arasında kalan Neojen volkaniklerinin dağılımı ve jeolojisine yönelik yaptıkları çalışmalarında, volkaniklerin jeokimyasal analizlerine dayalı olarak alkalin ve kalkalkalin karakterde olduğunu ve heterojen bileşimli kabuk ve manto türevli olduklarını vurgulamışlardır.

Öztürk (1989), Balçıkhisar-Karaadilli (Afyon) Dereköy (Isparta) dolayının Jeolojisine yönelik yaptığı çalışmada kaya topluluşlarını Balçıkhisar Grubu, Çölovası Allokton Grubu, Hoyran Grubu ve Şuhut Grubu olmak üzere dört ana grup altında toplamıştır.

Savaşçın (1990), Batı Anadolu'da yer alan mağmatikleri, kompresyonla ilişkili kalkalkalin mağmatikler ve ekstansiyonla ilişkili alkalin mağmatikler olarak iki grubu ayırmıştır. Kalkalkalin grubu oluşturan magmatiklerin strato tip komplekslerle karakterize edildiğini ve bunların dalma-batma zonuya ilişkili olduğunu, buna karşın ekstansiyonel volkanizmanın olasılı bir Neojen yaygerisi baseni temsil edebileceğini belirtmiştir.

Francalancı vd., (1990), Ege ve Batı Anadolu bölgesindeki Tersiyer-Kuvaterner yaşlı alkalin mağmatizmanın petrolojisi ile ilgili jeokimyasal ve izotop çalışmalarına dayalı araştırmasında, bölgede Na-alkalin, potasik ve ultrapotasik olarak üç grup volkanik sınıflandırılarak, Afyon bölgesinin orojenik affinité gösterdiğini belirtmiştir.

Afyon ultrapotasyumlu RPT tip olduğunu vurguladığı çalışmasında orojenik affiniteli, şoşonitik, potasik ve ultrapotasyumlu mağmaların heterojen üst manto kaynağından türediğiğini, metasomatizmanın dalan levhadan gelen akışkanlarla ilgili olduğunu belirtmiştir.

Aydar vd., (1996), Afyon volkanizmasının bir strato tip volkanizma olduğunu, iki evrede geliştiğini, ikinci evrenin lamproitik lamprofir ve alkali lamprofirler olduğunu belirtmişlerdir. Oluşumlarında fraksiyonel kristalizasyon ve mağma karışımlarının egemen olduğunu, potasik ve ultrapotasyumlu lavlarda iri katyonlu litofil (LIL) elementlerce zenginleşmelerin manto metasomatizması ile ilişkili olduğunu belirtmişlerdir.

Yağmurlu vd., (1997), Isparta büklümünü aktif tektonik ve alkalini volkanizma açısından incelemiş ve volkanizmayı alkalini ve hiperalkalini olarak ayırmışlardır. Bölgede latitik, traktik, lösitik ve lamproitik karakterli kayaçların yüzeylendiğini belirtmişlerdir. Kuzeyde Afyon'dan güneye doğru genleşen bir volkanizmanın olduğunu vurgulamışlardır. Ayrıca Üst Miyosen-Alt Pliyosen'de K-G yönündeki horst-graben yapılarına paralel volkanizmanın gelişliğini, Afyon bölgesindeki volkanizmanın Afrika plakasının Anadolu plakası altına dalımı ile ilgili dalma-batma prosesi ile ilişkin kompresyonel rejimle gelişliğini ileri sürmüşlerdir.

Francalancı vd., (2000), Kırka-Afyon-Isparta volkanik provensi (KAIV) içerisindeki volkaniklerin Isparta Büklümü'ünü ortadan kuzey-güney yönünde bölen bir tektonik hat boyunca dizildiklerini, bu volkaniklerin kökensel olarak Afrika plakasının Avrasya altına dalmasıyla ilişkili olduğunu ve orojenik afinite gösterdiklerini, bunun yanında Bucak (Burdur) dolayındaki ultrapotasyumlu volkaniklerin levha içi (within-plate) afinite gösterdiklerini belirtmişlerdir. Yazarlar Isparta bölgesindeki potasik volkaniklerin yüksek Sr düşük  $^{87}\text{Sr}/^{86}\text{Sr}$  değerlerine sahip olup bunda dalan okyanusal litosferden kaynaklanan sıvıların rol oynadığını, Kırka bölgesindeki volkaniklerin yüksek  $^{87}\text{Sr}/^{86}\text{Sr}$  değerlerine sahip olup bunun da manto içerisine dalan silisli sedimanlardan kaynaklandığını ifade etmişlerdir.

Akal ve Helvacı (2002), Afyon volkanik kompleksi içerisinde ve Sandıklı-Şuhut hattının güneyinde stratigrafik konumlarına göre üç evreden oluşan potasik-ultrapotasik karakterde volkanik aktivite ürünleri belirlemiştir: i) melilit-lösitit, tefrifonolit ve benekli trakiandezit lavları, ii) Başören trakiandeziti, Başören piroklastik serisi ve bunları kesen lamproitler, iii) Balçıkhisar volkanoklastik serisi, gölsel sedimanlar ve Tokluk volkanosedimanter serisi, fonotefrit, fonolit, bazanitik trakiandezit, nozean içeren trakiandezitik lav domları, daykları ve akmaları.

Aydar vd., (2003), Afyon stratovulkanı içerisinde yer alan lamprofirlerin volkanik aktivitenin son safhasında hidrovolkanik ürünler, afanitik lav akıntıları ve dayk intrüzyonları şeklinde yerleştiklerini, bu lamprofirlerin manto metasomatizması ile ilişkili olarak LILE ve Zr açısından zenginleşme gösterdiklerini belirtmişler, küçük miktardaki lamprofirik magmanın yerleşmesi için gerilme rejimi altında oluşmuş çıkış kanallarının olması gereği üzerinde durmuşlardır.

Gürsu ve Göncüoğlu (2005), Sandıklı (Afyon) bölgesinde mostra veren Sandıklı temel kompleksinin metasedimenter kayaçlarını Güvercinoluk Formasyonu olarak, meta-magmatik kayaçları ise Kestel çayı porfiroid birliği olarak tanımlamışlardır. Kestel çayı porfiroid birliğinin meta-riyolit/meta-dasitler ile meta-kuvars porfir dayklarından olduğunu ve bunların Sandıklı temel kompleksinin metasedimanter kayaçlarını (Güvercinoluk formasyonu) ve çekirdeği oluşturan meta-riyolit/meta-dasitleri kestiğini ifade etmişlerdir.

Koçyiğit ve Deveci (2007), inceleme alanı kuzeyinde yer alan Şuhut (Afyon) grabeninin DKD-BGB yönelik bir genişlemenin denetiminde, en geç Pliyosen'den beri genişlemekte olduğunu, genişleme türündeki neotektonik dönemin Isparta Açısı ve özellikle Şuhut bölgesinde, Geç Pliyosen'de başladığını ifade etmişlerdir.

Çoban ve Flower (2007), Isparta Büklümü ve kuzeyini kapsayan Kırka-Afyon-Isparta volkanik provensi içerisinde hem orojenik şoşonitlerin hem de orojenik olmayan levha içi karakter taşıyan lamproitik kayaçların birlikte yer aldıklarını, Üst Pliyosen ultrapotasyik Buca lamproitlerinin OIB karakteri sunduğunu belirtmişlerdir. Yazarlar bu volkanik provens içerisinde bulunan orojenik ve orojenik olmayan

magmaların hem litosferik manto hem de kabuksal malzemeden kirlenmiş konvektif hareket sunan bir astenosferik manto kaynağından farklı basınçlar altında oluştuklarını ileri sürmüşlerdir.

Özpinar (2008), Sandıklı (Afyon) yöresindeki volkanitleri Sandıklı volkanitleri olarak tanımlamıştır. Volkanitlerin Orta ve Geç Miyosen yaşlı lavlar ve piroklastikler ile temsil edildiklerini, lavların trakiandezit, fonolitik tefrit, bazaltik andezit, bazaltik trakti-nefelinit, andezit ve dasit bileşimli olduğunu ifade etmiştir. Ayrıca piroklastik kayaçların lapillitaşı, tüflü çakıltaşısı, tüflü kumtaşı, tüflü çamurtaşısı ve ayrıca trakiandezit, andezit, ve fonolitik tefrit bileşimli vitrik tuf ve kristal tuf ile temsil edildiklerini belirtmiştir.

Prelević vd., (2010), inceleme alanını da içeresine alan güneybatı Türkiye'de lamproitlerin aşırı tüketilmiş flogopit içeren harzburjistik mantodan türediklerini belirtmişlerdir. Tüketilmiş harzburjistik mantonun da Tetisin güney kolu içerisinde okyanus içi dalma zonlarında ve yitim üstü zonlarda gelişen kısmi ergimelerle oluştuğunu, yoğunluğu daha az olan tüketilmiş litosferik mantonun Tetisin kapanma sürecinde Anadolu levhası altında yükseldiğini ve yine dalan levhadan kaynaklanan sedimanların katkısı ile potasyum içeren flogopitlerin oluşumuyla Anadolu levhası altında flogopit içeren aşırı tüketilmiş harzburjistik mantonun gelişliğini belirtmişlerdir. Dolayısıyla lamproitlerin bu flogopit içeren tüketilmiş mantodan türediklerini ileri sürmüşlerdir.

Günen ve Varol (2010), Afyon-Sandıklı Neojen havzasının potasik-ultrapotasik volkanik birimler ve gölsel sedimanter kayaçlardan oluştuğunu belirtmişlerdir. Afyon volkanizmasının Orta-Üst Miyosen döneminde (14.8-8 my) gölsel sedimentasyon eşliğinde stratovulkan tipinde gelişliğini belirtmişlerdir. Volkanik tanelerin genellikle riyolit ve latitlerden türediklerini, yüksek volkanik alanlardan daha alçak topografik alanlara, gölsel havza içlerine doğru taşıdlıklarını ve hatta onlarca metre boyunda volkanik blokların dahi taşınabildiklerini ifade etmişlerdir.

### **3. MATERİYAL VE YÖNTEM**

Bu inceleme 2009 - 2011 tarihleri arasında gerçekleştirilmiş olup, saha incelemeleri ve laboratuvar araştırmaları şeklinde iki bölümde yürütülmüştür. Saha çalışmaları esnasında  $300 \text{ km}^2$ lik bir alanı kapsayan inceleme alanının 1/25 000 ölçekli jeolojik haritası çizilmiştir. Harita alanı içerisinde mostra veren volkanik ve piroklastik kayaçlardan yaklaşık 50 adet örnek alınmıştır. Bu örneklerin tümünün ince kesitleri Süleyman Demirel Üniversitesi Jeoloji Mühendisliği Bölümü'ne bağlı incekesit laboratuvarında yapılmıştır. Örneklerin petrografik incelemeleri Süleyman Demirel Üniversitesi Mühendislik-Mimarlık Fakültesi Jeoloji Mühendisliği bünyesinde bulunan Olympus model polarizan mikroskop altında gerçekleştirilmiştir. İncekesit fotoğrafları ise Leica Görüntü Analiz Sistemi kullanılarak çekilmiştir. Tüm örneklerin petrografik incelemeleri yapıldıktan sonra gerek arazideki konumları gerekse petrografik özellikleri dikkate alınarak tüm bölgeyi temsil edecek 19 adet volkanik kayaç örneği belirlenmiştir. Kayaç örnekleri belirlenirken özellikle mikroskop altında mümkün olduğu kadar az altere olmuş örneklerin seçilmesine dikkat edilmiştir. Belirlenen örnekler petrokimyası ve petrojenezinin yorumlanması amacıyla ile ACME Analiz Laboratuvarı'na (Kanada) gönderilerek, ICP-MS metodu ile tüm kayaç ana oksit-iz element ve nadir toprak element (REE) analizleri gerçekleştirilmiştir.

## 4. ARAŞTIRMA BULGULARI VE TARTIŞMA

### 4.1. Bölgenin Jeolojisi

İnceleme alanı içerisinde otokton konumlu birimler yer almaktadır bunlar alttan üstte doğru: i) Ayrılmamış karbonatlar, ii) Dereköy Formasyonu, iii) İncesu Formasyonu, iv) Kızılıcık Formasyonu, v) Alüvyon ve yamaç molozu (Şekil 4.1).

MESOZOYIK	SENOZOYIK						Litoloji	Açıklamalar
	Kretase	Paleson	Eosen	Terslyer	Neojen	Miyosen		
Ayrılmamış Karbonatlar		Dereköy Fm.	Incesu Fm.	Kızılıcık Fm.	Alüvyon	Formasyon	Sıra	
Üst				Tkr	Tln	Qym	Qal	
M-Tak		Tdr						
								Yamaç molozu, alüvyon
								Zendevi volkanitleri(Tz)
								İnce-orta tabakalı tüfitler
								İnce-kalın katmanlı konglomeralar
								Kumtaşı, kilitaşı, şeyl, marn ardalanması
								Kırmızı-pembe ince katmanlı kireçtaşı
								Orta-kalın katmanlı, alt seviyelerde masif yapılı kireçtaşı

Şekil 4.1. İnceleme alanına ait stratigrafik sütun kesit

#### **4.1.1. Ayrılmamış karbonatlar**

##### **4.1.1.1. Tanım ve adlama**

İnceleme alanın güneyinde özellikle Uluğbey ile Büyük Kabaca arasında, Başköy, Çiğdemtepe civarlarında ve bölgenin kuzey kesimlerinde yaygın olarak farklı renk ve yapıda karbonatlı kayaçlar mostra vermektedir. Koçyiğit (1984b), Toklutepe civarında yüzeylenen ve koyu gri, siyahumsı karbonatları Toklutepe Formasyonu olarak tanımlamış ve üst kısımlarının yanal yönde Çiğdemtepe Formasyonuna geçiş yaptığını, ancak geçiş sınırlarının genelde faylı olduğunu belirtmiştir. Yazar inceleme alanı içerisinde, Çiğdemtepe civarında mostra veren kırmızı-pembe renkli, ince tabaklı ve disharmonik kıvrımlı karbonatları Çiğdemtepe Formasyonu olarak adlandırmıştır. Yine Çiğdemtepe Formasyonu'nun tip kesiti Yukarıtirtar civarında gözlenen ve inceleme alanı içerisinde Başköy civarında yüzeylenen sığ ve pelajik karbonatlarla temsil edilen Yukarıtirtar Formasyonu'na uyumlu geçiş gösterdiğini belirtmiştir. Ancak tüm inceleme alanı içerisinde gözlenen karbonatlar ayrıntılı paleontolojik çalışma olmamasından dolayı bu çalışmada ayrılmamıştır.

##### **4.1.1.2. Litoloji**

Ayrılmamış karbonatlar inceleme alanı içerisinde farklı renk ve yapıda gözlenmektedirler. Uluğbey ile Büyükkabaca arasında yüzeylenen karbonatlar genelde bozunma rengi gri, koyu gri, beyazumsı gri, taze kırık yüzey rengi gri, bej gri, açık yeşilimsi renklerdedir. Alt kesimlerde genel olarak masif yapıda gözlenmekte üst kesimlere doğru orta derecede yer yer ince-orta katmanla göstermektedirler. Yüzeyde bol kırık çatlaklı olup yer yer erime boşlukları gelişmiş ve bu erime boşlukları laterit oluşumları ile dolmuştur. Hatta mermer elde etmek amacıyla açılan mermer ocakları, kireçtaşlarının bol kırık ve çatlaklı olmalarından dolayı terk edilmiştir (Şekil 4.2). Başköy kuzeyinde Çiğdemtepe civarında kırmızı pembemsi renklerde, ince katmanlı ve mikro kıvrımlı olarak gözlenmektedirler (Şekil 4.3).



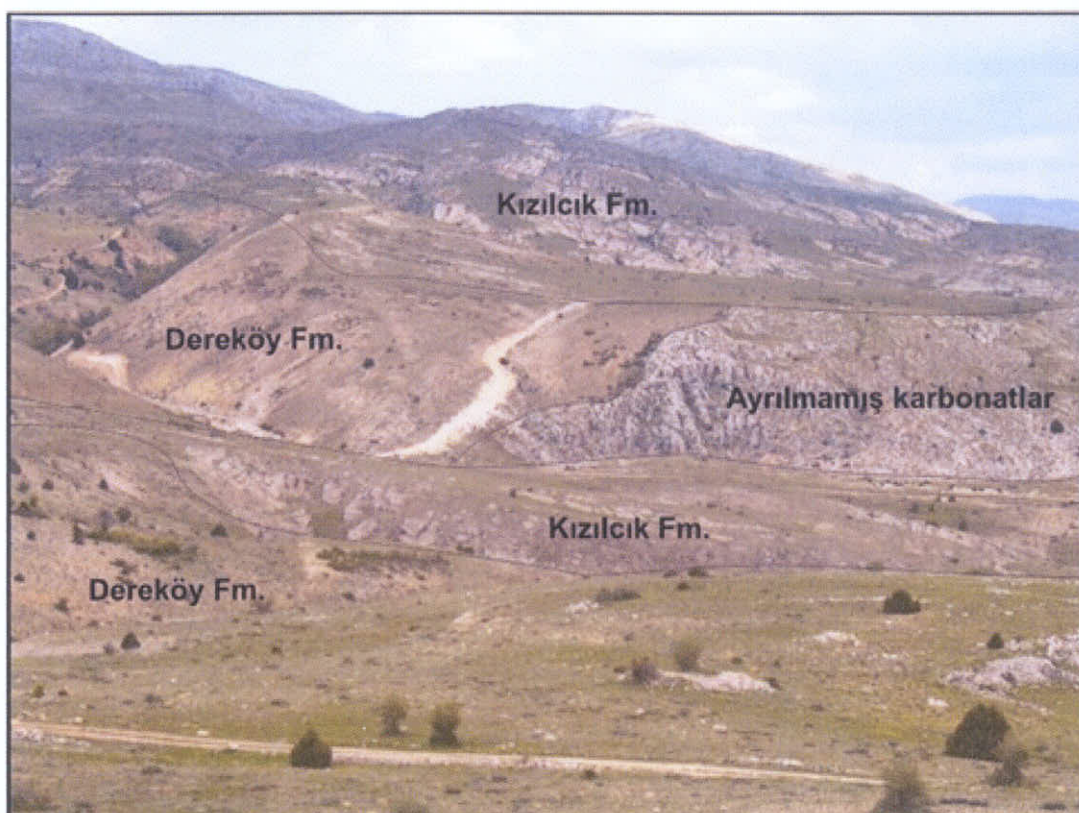
Şekil 4.2. Ayrılmamış karbonatlarda gözlenen kırık ve çatlaklar (Başköy doğusu)



Şekil 4.3. Ayrılmamış karbonatlarda gözlenen kırmızı pembemsi ince katmanlı ve mikro Kırımlı kireçtaşları (Çığdemtepe)

#### **4.1.1.3. Alt ve üst dokanak**

Ayrılmamış karbonatların tabanında yer alan birimler inceleme alanı içerisinde gözlenmemektedir. Üzerine ise uyumlu olarak gelen Dereköy Formasyonu ile olan dokanak ilişkileri Başköy kuzeyinde ve Çiğdemtepe civarlarında gözlenmektedir. Ayrıca aynı bölgede, hem ayrılmamış karbonatlar hem de Dereköy Formasyonu üzerine uyumsuz olarak gelen Kızılçık Formasyonu gözlenmektedir (Şekil 4.4).



Şekil 4.4. Başköy kuzeyinde ayrılmamış karbonatlar üzerine gelen Dereköy Formasyonu ve Kızılçık Formasyonu

#### **4.1.1.4. Yaş**

Inceleme alanı içerisinde yer alan ayrılmamış karbonatların Koçyiğit (1984), tarafından tanımlanan Toklutepe Formasyonu, Çiğdemtepe Formasyonu, Yukarıtirtar Formasyonu'ndan oluştugu yukarıda belirtilmiştir. Yazar tip lokalitesi olan Toklutepe'de mostra veren karbonatların alt, orta ve üst düzeylerinde elde ettiği fosil

bulgularına göre Senomaniyen-Alt Senoniyen, Santoniyen-Kampaniyen ve Maastrichtiyen yaşlarını vermiştir. Yazar Çiğdemtepe civarında yüzeylenen karbonatlı kayaçlardan elde ettiği fosil bulgularına göre Çiğdemtepe Formasyonunun yaşı Maastrichtiyen olarak belirlemiştir. Yukarıtırtar Formasyonu'nun alt, orta ve üst düzeylerinden alınan paleontolojik bulguların Alt Paleosen (Daniyen-Monsiyen), Orta-Üst Paleosen, Alt-Orta Eosen (Küiziyen-Lütesyen) olduğu belirtilmektedir. Dolayısıyla ayrılmamış karbonatlar Üst Kretase-Orta Eosen arası olarak kabul edilebilir.

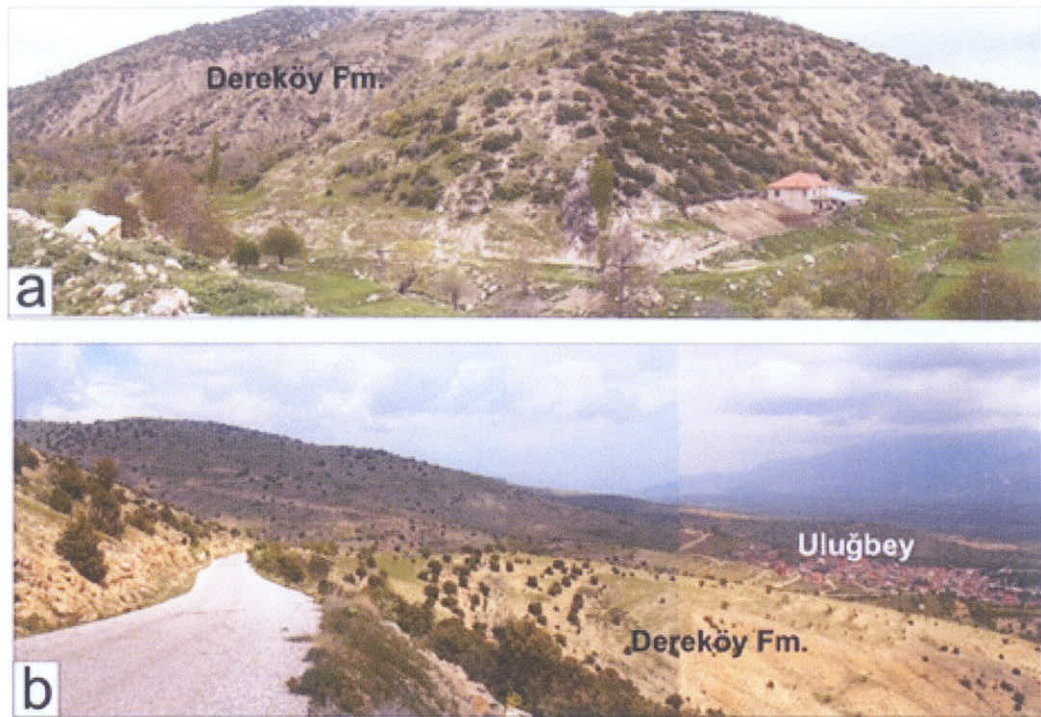
#### **4.1.2. Dereköy Formasyonu**

##### **4.1.2.1. Tanım ve adlama**

Birimde hakim litoloji genellikle çeşitli boyutlarda çakıl içeren türbiditik kumtaşlarıdır. Genel olarak killi kumlu kireçtaşı ara seviyeli kumtaşı, kiltaşı, silttaşı ve konglomeralardan oluşmaktadır. Farklı çalışmalarında Garipçe Formasyonu (Yalçınkaya vd., 1986), Isparta Flişi (Sarıüz, 1985), Kurttepe Formasyonu (Yalçınkaya, 1989), Kazanpınarı Formasyonu (Özgül vd., 1991), Dereköy Formasyonu (Koçyiğit, 1984b), olarak tanımlanmıştır.

##### **4.1.2.2. Litoloji**

Bu çalışmada Dereköy Formasyonu benimsenmiştir. İnceleme alanı içerisinde Başköy kuzeydoğusunda, Uluborlu kuzeyinde, Dereköy ve Uluğbey civarlarında gözlenmektedir (Şekil 4.5). Genel olarak ince-orta-kalın tabakalı, yeşil, gri, beyaz renklerde kalkarenit, mikrit, killi kumlu kireçtaşı ara seviyeli kumtaşı, kiltaşı, silttaşı ve konglomeralardan oluşmaktadır. Birim genel olarak fliş fasiyesini yansıtmaktadır. Birim genel olarak Alpin hareketlerde etkilenmiş olup yer yer tabakalar dike yaklaşmıştır.



Şekil 4.5. (a) Dereköy kuzeyinde ve (b) Uluğbey civarında gözlenen Dereköy Formasyonu

#### 4.1.2.3. Yaş

Koçyiğit (1984b), yakınsak türbiditlerde gözlemlemiş olduğu *Nummulites millecaput*, *Assilina exponens*, *Rotalia trachidiformis*, *Alveolina sp.*, *Actinocyclina sp.*, ve *Discocyclina sp.* Fosillerini belirlemiştir. Yine türbiditlerle ardalanmalı pelajik biyomikritlerde *Globorotalia bullbrooki*, *Orbulinoides sp.* Ve *Globigerina sp.* Fosillerini belirlemiştir. Birimin yaşını tüm fosil bulgularına göre Lütesyen olarak belirlemiştir.

#### 4.1.3. İncesu Formasyonu

##### 4.1.3.1. Tanım ve adlama

Birim ilk kez Gutnic (1977), Keçiborlu'nun güneybatısındaki İncesu mevkiine atfen İncesu Konglomeralleri olarak adlandırılmıştır. Senirkent dolaylarında ise Koçyiğit (1984a), tarafından İncesu Formasyonu olarak önerilmiştir. Isparta güneybatısında ve

Gölcük volkanının batısında yer alan ve ofiyolitler üzerinde yer alan konglomeratik birim için Karaman (1990), Gönen Çakıltaşı olarak adlamıştır. Bu çalışmada Koçyiğit (1984a)'nın tanımlaması benimsenerek İncesu Formasyonu olarak isimlendirilmiştir.

#### 4.1.3.2. Litoloji

Birim Küçükkabaca ve Dereköy kuzey kesimlerinde yüzeyleme vermektedir. Birim yer yer kötü katmanlanma, bazı alanlarda orta-kalın katmanlı sunmaktadır. Birimi oluşturan konglomera çakılları genel olarak heterojen tane boyutu dağılımı sunmaktadır. Taneler genelde orta-iyi yuvarlaklaşmış çoklukla gri, bej, pembe kireçtaşları taneleri, çört, kumtaşı çakılları, breşik çakıltaşları, puding yapısı sunan konglomeratik kireçtaşları blokları, metre boyutuna kadar varan kireçtaşları bloklarından oluşmaktadır (Şekil 4.6). Konglomeralar orta-iyi pekleşme göstermektedir.



Şekil 4.6. Dereköy kuzeyinde orta-iyi yuvarlaklaşmış İncesu Formasyonu'na ait konglomeralar

#### 4.1.3.3. Alt ve üst dokanak

İncesu konglomeraları alta Dereköy Formasyonu üzerine uyumsuz olarak gelmektedir (Şekil 4.7). Üstte ise Kızılıcık Fomasyonu'nun piroklastikleri tarafından uyumsuz olarak üzerlenmektedir.



Şekil 4.7. Dereköy Formasyonu üzerine uyumsuz olarak gelen orta-kalın katmanlı İnce Formasyonu konglomeraları

#### 4.1.3.4. Yaş

Koçyiğit (1984a), Senirkent dolaylarında yer alan İncesu Formasyonu içerisinde gözlemlediği Nummulites fichteli, Nummulites intermedius and Amphistegina sp. fosil bulgularına göre birimin yaşını Alt-Orta Oligosen olarak belirlemiştir. Yazar birimin genel olarak kireçtaşı, dolomit, radyolarit-çört, serpentin, gabro, diyabaz, peridotit, bazaltik tüf, şist, amfibolit, granit kıritı ve bloklarından yapılmış olduğunu, Lütesyen yaşılı fliş karakterindeki Dereköy Formasyonu ve bunu tektonik olarak üzerleyen ofiyolitik melanj üzerine uyumsuz olarak geldiğini belirtmiştir. Üst Lütesyen sonrasında Toros ofiyolitlerinin yerleşimine bağlı olarak bölgenin sıkışma rejimi altına girdiğini, bu nedenle bölgenin kuzey-kuzeydoğu kesimlerinin yükseldiğini ve aşındığını diğer taraftan güney-güneybatı kesimlerinin ise sıç denizel ortam koşullarına maruz kaldığını ve Priabonian boyunca sedimentasyonun devam ettiğini ifade etmiştir. Alt Oligosen'den itibaren bölgenin yeni bir gerilme rejimine maruz kaldığını ve bu gerilme neticesinde bölgede çökme ve yükselme alanlarının oluştuğunu belirtmiştir. Yükselen alanların aşınması ve aşınan malzemenin çöküntü

alanlarında birikmesiyle İncesu Formasyonu olarak tanımlanan konglomeratik birimin olduğunu ileri sürmüştür ve birimi post-orogenik molas olarak tanımlamıştır.

#### **4.1.4. Kızılçık Formasyonu**

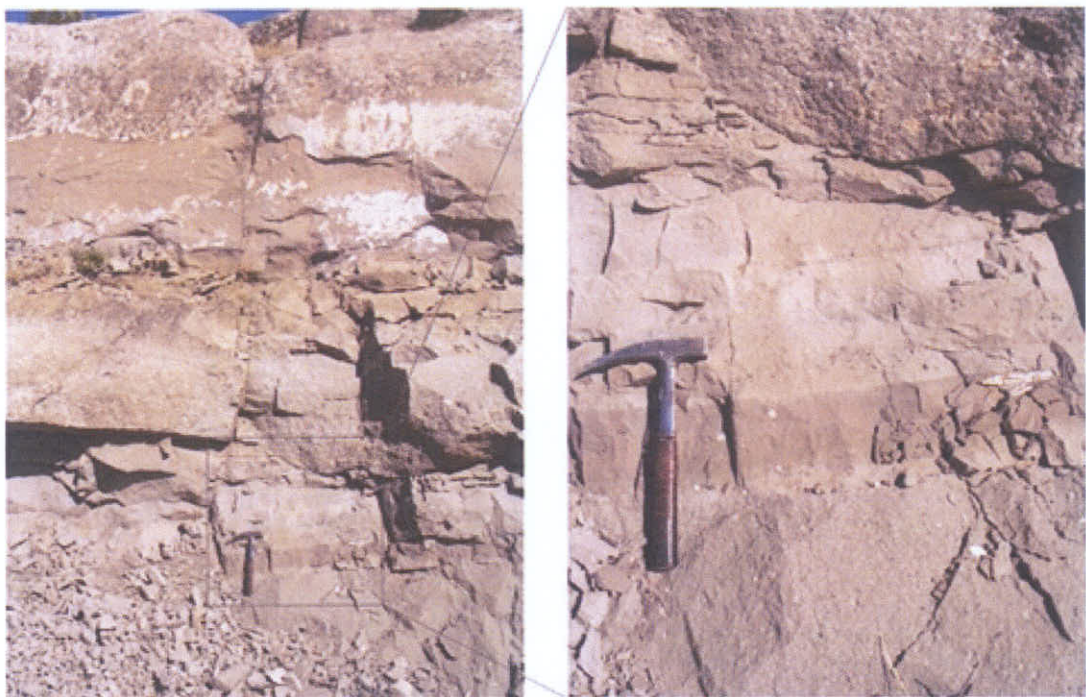
##### **4.1.4.1. Tanım ve adlama**

Tüf, tüf breşi, aglomera gibi volkanik kökenli kayaçlardan oluşan ve içerisinde yer yer değişik tane boylu kireçtaşları kırıntılarından oluşan birim Kumalar Formasyonu olarak ayrılmıştır. İnceleme alanı içerisinde Büyük Kabaca, Uluğbey ve Küçük Kabaca kuzey kesimlerinde Takka Tepe, Meşeli Tepe, Külliğ Tepe, Türkmen Tepe, Bostanekî Tepe, Yeşilce Tepe, Karaağıl Tepe, Ekmeksivri Tepe, Başköy, Kaklıkkaya sırtı, Düzyayla mevkii, Kale Tepe, Akseki mevkii, Kaplan Sırtı civarlarında mostra vermektedir ve yaklaşık olarak  $300 \text{ km}^2$ lik bir alanı kaplamaktadır. Tüfit üyesini meydana getiren kayaç birimleri tek bir kesitte görülmez ve inceleme alanının farklı kesimlerinde içerik bakımından farklılık gösterebilir. Koçyiğit (1984b), birimi en iyi gözlendiği Hoyran Gölü kuzeybatısında bulunan Kızılçık civarındaki tip lokalitesine atfen Kızılçık Formasyonu olarak tanımlamıştır. Bu çalışmada da bu isimlendirme kullanılmıştır. Kızılçık civarında mostra veren formasyon pekişmemiş konglomeratik çökeller, gölsel kireçtaşları ve alkali volkanikler ile temsil edilmektedir Koçyiğit (1984b). Yazar, Kızılçık Formasyonun baskın litoloji türüne göre Karacaören, Gedikyurt, Tepesidelik üyelerine ayırmıştır. Ayrıca birim içerisinde dayk ve volkanik boyun şeklinde gözlenen ve aşınma sonucu ortaya çıkmış olan löositit, lösit-trakit, egirin-trakit, ve trakitik bileşimdeki volkanikleri Zendevi volkanikleri olarak ayırtlamıştır.

##### **4.1.4.2. Litoloji**

Uluğbey-Tatarlı yol üzerinde alt kısımlarda tüfler ince taneli, gri, sarımsı yeşil renk tonlarında gözleniyor ve hemen kireçtaşları üzerine uyumsuz olarak gelmektedir. Kireçtaşları gri, koyu gri renk tonlarında ve dere boyunca breşik yapıda gözleniyorlar. Breşik kireçtaşlarının tabanı görülmemekle birlikte üzerine Dereköy

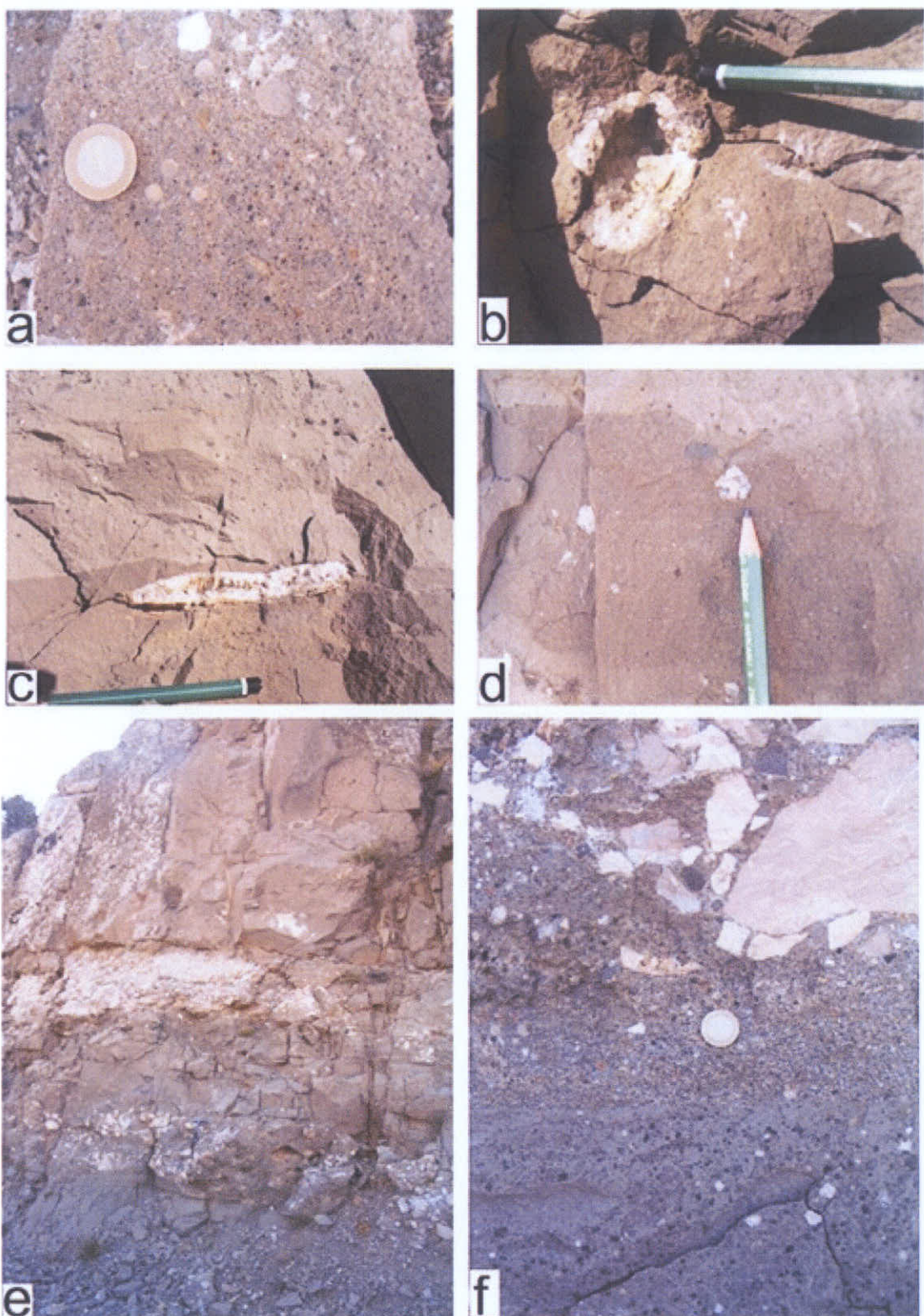
Formasyonu gelmektedir. Koçyiğit (1984b), altta sığ deniz karbonatları ile üstte fliş fasiyesi arasında yer alan 3-5 kalınlığındaki breşik kireçtaşlarının sığ deniz ortamının ani derin deniz ortamına geçişini karakterize ettiğini ve düşey faylanma ve platform karbonatlarında ani derinleşmenin işaretçisi olduğunu belirtmiştir. Tüflerin taban kesimlerinde genelde köşeli kireçtaşı çakılları açısından zengin seviyeler gözlenmekte ve çakıllarda yönlenmeler belirgindir. Konglomeratik kireçtaşları üste doğru çok zayıf pekleşmiş konglomeratik kireçtaşlarına geçiş göstermektedir. Bu zayıf pekleşmiş kısımda çakıllar ince taneli sarımsı, kırmızımsı kahve matriks ile tutturulmuştur. Dolayısıyla tabanda zayıf pekleşmiş konglomeratik kireçtaşı seviyesi Kızılçık Formasyonu'nun taban seviyesi olarak kabul edilmektedir. Kireçtaşları üzerine gelen tüflerde hem felsik hem de mafik mineraller gözlenmektedir. Dere içerisinde aglomeratik bloklara da rastlanmaktadır. Uluğbey kuzeyinde Tatarlı yolu üzerinde koyu gri iyi pekleşmiş tüfler gözlenmektedir. Bu civarda tüfler tabakalı yapı sunmaktadır. Tüflerin içerisinde volkanik ve sedimanter kaya kırıntıları mevcuttur. Tüf katmanları içerisinde yatay ve dikey yönde cm ve dm boyutunda genelde köşeli kireçtaşı çakılları gözlenmektedir. Tüf katmanları dikey yönde hem renk açısından hem de tanelerin boyutunda değişimler olduğu gözlenmektedir (Şekil 4.8). Tüfler içerisinde yuvarlaklaşmış çamur topçukları gözlenmekte ve bunlar sedimentasyona işaret etmektedirler (Şekil 4.9a). Yine tüfler içerisinde kuş gözü yapısı sunan ya da elipsoidal formlarda gelişmiş iri kalsit dolguları da gözlenmektedir (Şekil 4.9b,c,d). Tüfler yer yer gri, koyu gri, silt, kil, kum boyu malzemeden oluşmaktadır. Genelde gri, bej, siyahımsı, kül, açık pembe renklerin hakim olduğu genel olarak tüf karakterli piroklastikler yer yer karbonatlı çakıllardan oluşan çakıl mercekleri içermekte ve tüf seviyeleri kendi içerisinde farklı renk ve tane boyu bileşenlerinden oluşan ince-orta katmanlanma sunabilmektedir (Şekil 4.9,e,f). Geniş ölçekte bakıldığında piroklastikler orta-kalın katmanlanma sunmaktadır.



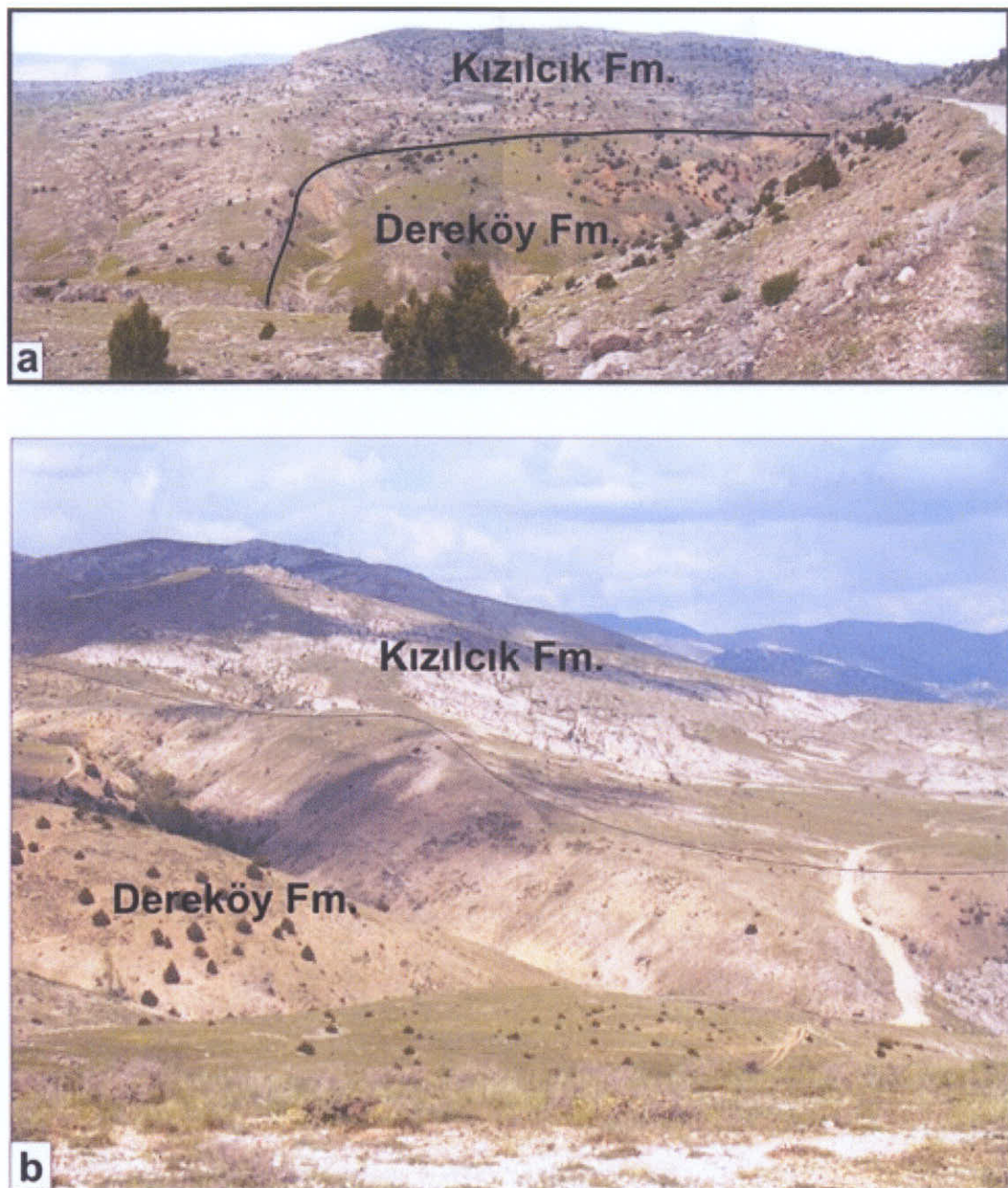
Şekil 4.8. Kızılçık Formasyonunu oluşturan tüfitlerde dikey yönde gözlenen hem renk hem de tane boyutu açısından değişimler

#### 4.1.4.3. Alt ve üst dokanak

Tüfitler tabanda silikaklastik sedimanter kayaçlar ve genelde tutturulmuş konglomeratik kireçtaşı seviyesi üzerine gelmektedirler (Şekil 4.10.). Tüfitlerin temelinde yer alan kireçtaşları bol kırık çatlaklı, masif yapıda, bozunma rengi gri, beyaz gri, taze kırık yüzey rengi beyaz, bej beyaz renklerde gözlenmekte ve oldukça sert yapıdadır. Öztürk (1989), İnceleme alanı dışında ve kuzey kesimlerde Kumalar Formasyonunun nehir ve göl çökelleri ile karasal çökellerden meydana gelen Güzelyayla Formasyonunun üst seviyelerinin yer yer volkanik kırtı içerdigini ve yanal ve düşey geçişli bulunduğu volkanik kökenli kayaçlardan oluşan Kumalar Formasyonu ile ayrılmاسının güç olduğunu belirtmiştir. Ancak Formasyonun piroklastik kayaçların yoğunlaşması ile Kumalar Formasyonuna geçildigini ve volkanik malzeme içeren Güzelyayla Formasyonunun üst düzeylerinin Kumalar Formasyonunun taban kısmına karşılık gelebileceğini belirtmiştir.



Şekil 4.9. a) Kızılıcık Formasyonunda tüfitler içerisinde yuvarlaklaşmış çamur topçukları, b,c,d) tüfitler içerisinde dairesel ya da elipsoidal yapıda iri kalsit dolguları, e,f) kireçtaşı kırıntıları



Şekil 4.10. Dereköy Formasyonu üzerine gelen Kızılıcık Formasyonu, a) Uluğbey kuzeyi, b) Başköy kuzeyi

#### 4.1.4.4. Yaş

Koçyiğit (1984b), birimin en üst seviyesini oluşturan ve killi gölisel kireçtaşları ile temsil edilen Tepesidelik üyesinde *Gastropoda*, *Chara* sp. ve *Ostracoda* fosilleri elde

etmiş ancak bu fosil bulgularına göre herhangi bir yaş verememiştir. Fakat İnal (1975), tarafından Yukarıkaşıkara köyünün 5 km kuzeybatisında yer alan Gürleyi civarında konglomeralarla ardalanmalı killi ve marnlı seviyelerde Alt Pliyosen'in üst seviyelerini temsil eden *Pyrgula* türü ve Üst Pliyosen'in alt seviyelerinin temsil eden *Corymbina* türünün saptandığını belirtmiştir. Buna ilaveten Tepesidelik üyesine ait gölsel kireçtaşlarında Erişen (1972), tarafından Orta ve Üst Pliyosen fosillerinin saptandığını belirtmiştir. Yazar diğer taraftan Akçaköy'ün 10 km kuzeybatisında yer alan Afşar köyü civarında mostra veren Karacaören üyesinin eşleniği olarak düşünülen tüflerde Becker-Platen vd., (1977), tarafından 11 milyon gibi değerler elde edildiğini belirtmiştir. Dolayısı ile yazar tüm verilere dayanarak Kızılçık Formasyonu'nun yaşını Üst Miyosen-Pliyosen olarak kabul etmiştir. Diğer taraftan Becker-Platen vd., (1977), inceleme alanı dışında ve kuzey kesiminde yer alan Kınık Köyü civarlarında mostra veren fonolitik lavlardaki biyotitlerde  $11.6 \pm 0.2$ , Kocaçal tepe dolayında kristal tüflerdeki biyotitlerde  $11.5 \pm 0.1$ ,  $12.2 \pm 0.2$  milyon yıl, Sandıklı ilçesi içinde bir latit bombasındaki biyotitte  $10.3 \pm 0.2$  milyon yıl, yine Sandıklı ilçesi içindeki fonolitik lavlardaki biyotit ve öjitten  $8.6 \pm 0.2$  milyon yıl yaş aralığı elde etmiştir (in Öztürk, 1989). Yine bu yaşlar Üst Miyosen-Pliyosen'e karşılık gelmektedir.

#### 4.1.4.5. Petrografi

Tüfitlerde volkanik kaya kıırıntıları:

Lösit fonolit (us-2-A): Kayaç porfirik dokulu olup çoğunlukla lösit, sanidin, klinopiroksen, bunun yanında daha az miktarda flogopit, apatit, titan mineralleri ve yaygın küçük yarı özsekilli, özsekilsiz tanesel opak minerallerden meydana gelmektedir.

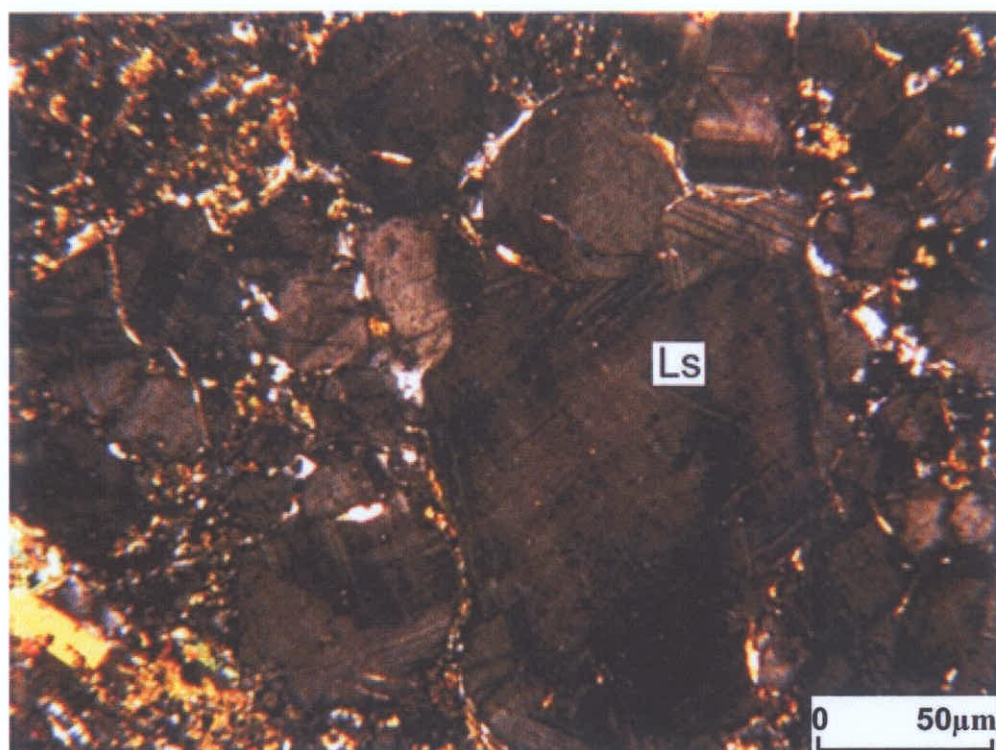
Lösitler heterojen tane boyutuna sahip ve genelde fenokristaller halinde yuvarlak ve özsekilsiz kristaller halinde gözlenmektedir (Şekil 4.11). Farklı yönlerde gelişen polisentetik ikizlenmeleri ile karakteristikler. Dalgalı sönme gösterebilmektedirler. Kristallerde düzensiz gelişmiş çatlaklar mevcuttur.

Sanidinler genelde yarıözşekilli, özsekilsiz formlarda, küçük-orta boyutlarda ve genel olarak mikrolitik boyutlarda matriks fazda yer almaktadır. Flogopitler içinde yarı gömülü olarak ya da inklüzyonlar halinde yer almaktadır.

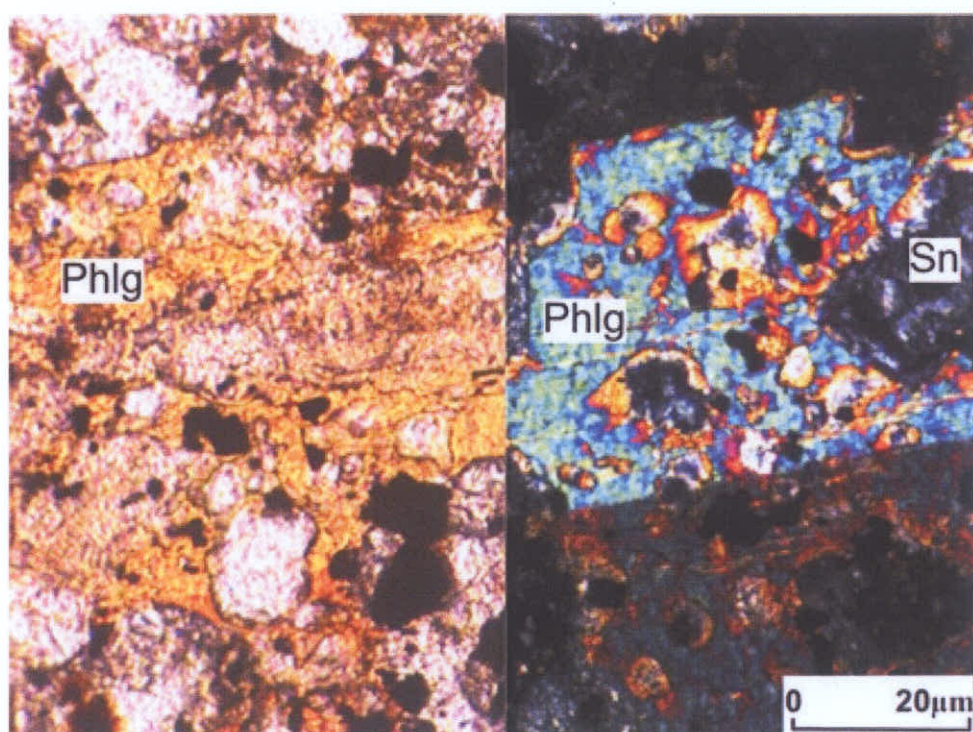
Flogopitler yüksek girişim renkleri sunmakta ve bazıları anomal mavi ve yeşil girişim rengi göstermektedirler. Tek nikolde ise açık kahve, kırmızımsı kahve pleokroizma sunmaktadır. Yer yer elek dokusu göstermekte ve elek dokusu sunanlarda sanidin ve lösit inklüzyonları gözlenmektedir. Kristal içinde özsekilsiz küçük opak mineraller de yer almaktadır. Sanidinler bazı flogopitler içerisinde yarı gömülü ya da inklüzyon şeklinde yer almaktadır (Şekil 4.12).

Apatit kristalleri küçük prizmatik ve iğnemsi kristaller halinde yer almaktadır (Şekil 4.13). Çift kırma zayıf olup I. Dizinin gri-beyaz renkleri arasında değişen renkler göstermektedir.

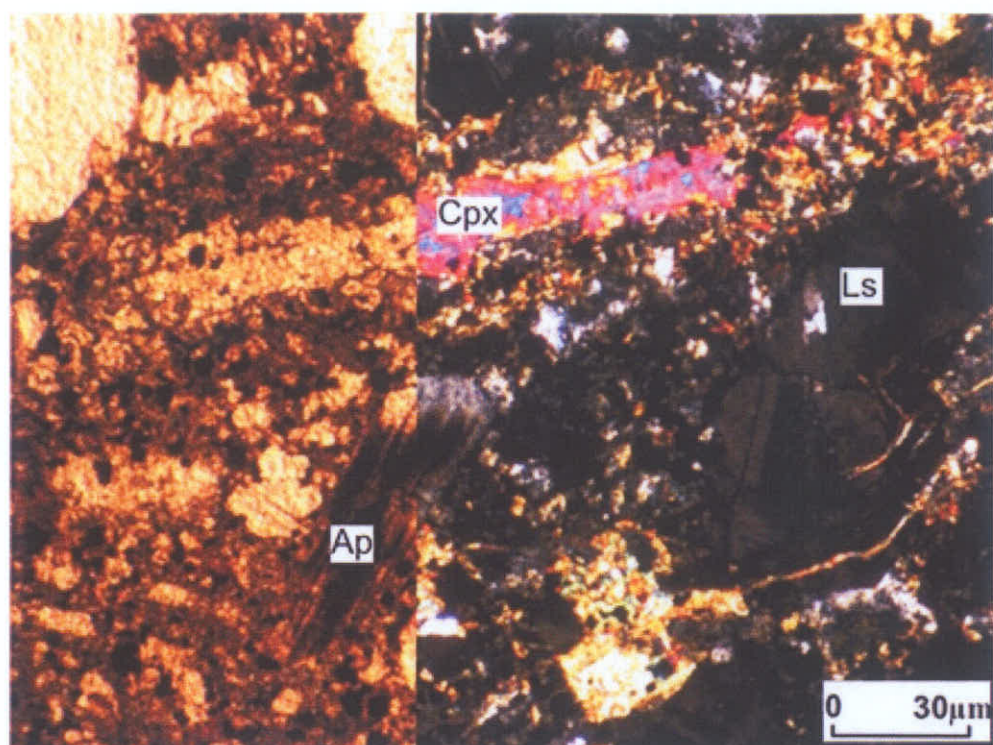
Klinopiroksenler çift nikolde ikinci ve üçüncü dizi girişim renklerini sunmaktadır. Tek nikolde renksiz ya da çok açık yeşilimsi renk göstermektedirler. Genelde özsekilsiz formlarda olup kenarlarından itibaren korozyona uğramışlardır (Şekil 4.14). Özellikle kristallerin kenar kesimlerinde taneli gelişmiş opak mineraller mevcut olup feldspatlar inklüzyon olarak yer alabilmektedirler. Bazı klinopiroksen kristalleri feldspatlarla girift büyümeye göstermektedirler.



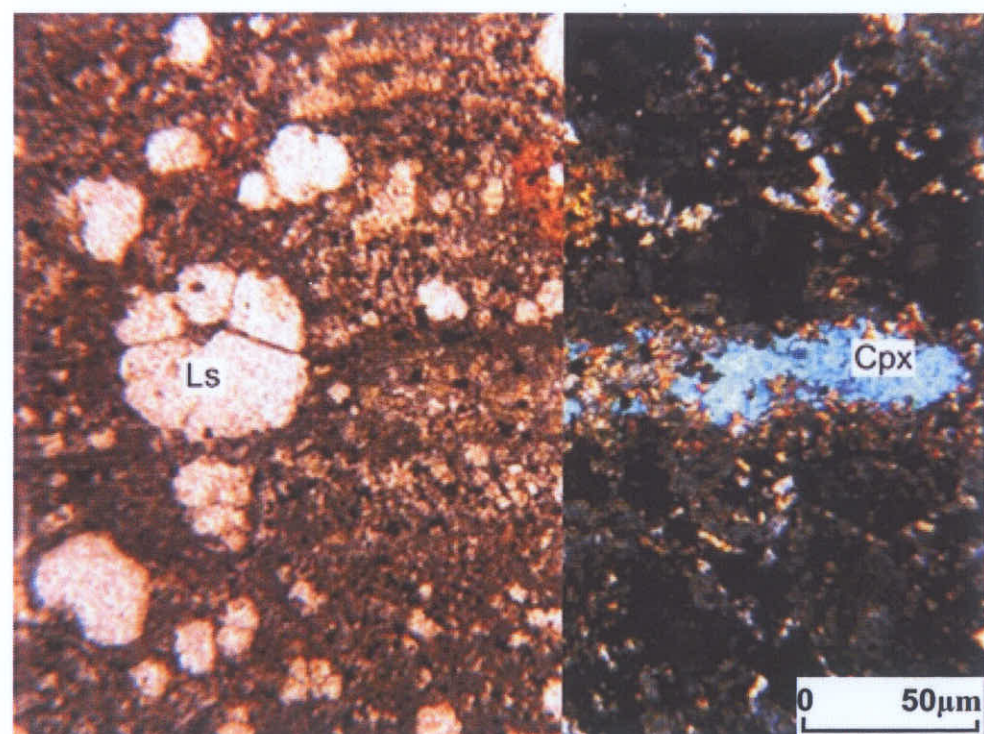
Şekil 4.11. Piroklastikler içinde lösit fonolitlerde yer alan lösit kristalleri. Ls:Lösit



Şekil 4.12. Piroklastikler içinde lösit fonolitlerde korozyona uğramış flogopit kristalleri. Phlg: flogopit, Sn:sanidin



Şekil 4.13. Piroklastikler içinde lösit fonolitlerde lösit, apatit, klinopiroksen kristalleri. Cpx:klinopiroksen, Ls:Lösit, Ap:apatit



Şekil 4.14. Piroklastikler içinde lösit fonolitlerde lösit, kenarlarından itibaren korozyona uğramış klinopiroksen kristalleri

Plutonik (us-13): Kayaç genel olarak flogopit, piroksen, granat, apatit kristallerinden oluşmaktadır. Flogopitler ÇN'de genelde koyu grimsi, mavimsi, yaklaşık altigen formlu, yarıözşekilli, TN'de açık yeşilimsi, kahvemsi sarımsı pleokroizma sunuyorlar. İri granatlar içinde flogopitler inklüzyonlar şeklinde gözleniyor. Kristal aralarında kalsitler yer alıyor. Flogopitlerin karbonatlar tarafından ornatıldığı, korozyona uğradığı gözlenmektedir. Flogopitler içinde iğnemsi apatitler gözlenmektedir. Granatlar içerisinde kalsitler de gözlenmektedir. Granatlar genelde özsekilsiz, izotrop ve TN'de açık sarımsı kahvemsi renk, rölyef yüksek, kalsit ve iğnemsi apatit ve flogopitleri kapanımlar şeklinde içermektedir.

Plütonik (us-7): Kayaç fanaristik dokulu, flogopit, yer yer karbonatlaşmış sodalit (?), granat minerallerinden oluşuyor. Granatlar genel olarak altigen-sekizgen formlarda ve yer yer karbonatlaşmış durumda. Kayaçta döyterik reaksiyon izlerine rastlanmaktadır.

Anal simit (Us-14-1): kayaç heterojen boyutlarda anal sim ve klinopiroksen minerallerinden meydana gelmektedir. Piroksenler genelde yüksek girişim renkleri ve zonlu sönme göstermektedirler. Tek nikolde renksiz ya da çok açık yeşilimsi renk sunmaktadır. Bazı anal sim kristalleri içerisinde inklüzyon şeklinde de yer almamıştır. Yine piroksenler içerisinde apatit kristalleri inklüzyon şeklinde yer almamıştır. Anal sim mineralleri çift nikolde birinci dizi girişim renkleri sunmakta ve bazen izotrop özellikte gözlenmektedir. Tek nikolde renksizdirler. Özsekilsiz taneler veya sekiz köşeliden yuvarlağa kadar değişen fenokristaller halinde gözlenmektedirler. Kayaç içerisinde yarıözşekilli, özsekilsiz opak mineraller yer almaktır ve bazıları anal sim kristalleri içerisinde de gözlenmektedir. Luhr ve Kyser (1989) anal sim oluşumlarını birincil (P-type), hidrotermal tip (H-type) ve lösit tip (L-type) olmak üzere üçe ayırmıştır. Söz konusu bu kayaçta yer alan anal simlerin birincil tipte olduğu düşünülmektedir.

Fonolit (us-15): Kayaç porfirik doku sunmaktadır. Matriks genel olarak mikrolitik sanidinlerden meydana gelmektedir. Mineral bileşenleri genel olarak klinopiroksen, apatit, opak kristallerden oluşmaktadır. Klinopiroksenler tek nikolde açık yeşilimsi

pleokroizma sunmaktadır. Apatitler orta-iri kristalli ve prizmatik formlarda gözlenmektedir. Nefelinler zayıf girişim rengi sunmakta ve tek nikolde renksizler. Bazıları yaklaşık altigen form sunmaktadır.

#### Tüfitler

Tüfit (us-4): Tüfitlerde genelde karbonat kaya kırlıntıları, mikrolitik sanidinlerden oluşan volkanik kaya kırlıntıları, piroksen kristalleri, flogopit kristalleri, apatit kristalleri, yuvarlaklaşmış sodalit kristalleri, mikrolitik feldspat ve piroksen fenokristallerinden oluşan lamprofirik kaya kırlıntıları gözlenmektedir. Bazı piroksen kristallerinde de karbonatlaşma gözlenmektedir.

Tüfit (us-4a): Matriks genelde karbonat çimentolu. Tane bileşenlerini lamprofirik kayaç kırlıntıları, piroksen kristalleri, yuvarlak formlarda özsekilsiz sodalit kristalleri, flogopit kristalleri, mikrolitik feldspat ve piroksen fenokristalleri, volkanik kayaç kırlıntıları, apatit kristalleri içeren volkanik kayaç kırlıntıları, bazen sekizgen form sunan granat (melanit) kristaller, opak taneler, mikritik karakterde yuvarlak karbonat kırlıntıları gözlenmektedir.

Tüfit (us-4-b/us-6/us-19): Matriks genelde karbonat çimentolu. İzotrop özellikte sodalit grubu mineraller gözleniyor. Tane bileşenlerini piroksen, granat, flogopit, feldspat kristalleri, karbonatlaşmış kayaç kırlıntıları, mikrolitik feldspatlardan oluşan kayaç kırlıntıları, yine mikrolitik sanidin içerisinde ve piroksen fenokristallerinden oluşan volkanik kayaç kırlıntılarından oluşmaktadır.

#### 4.1.5. Zendevi volkanitleri

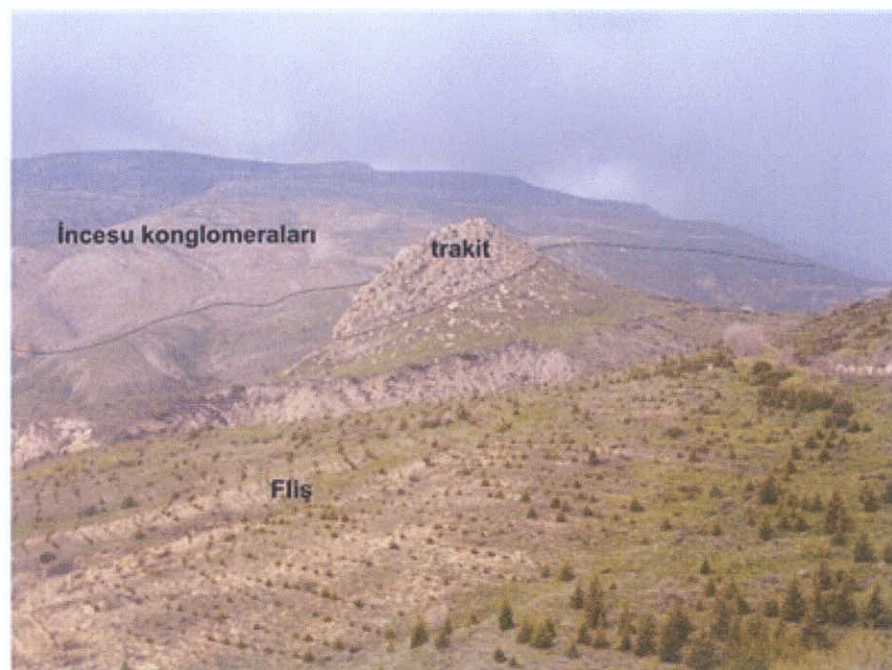
##### 4.1.5.1. Tanım ve adlama

Karasal (akarsu ve göl) çökeller ve bu çökellerle içerisinde lav domları şeklinde gözlenen ve kubbemsi rölyefleri ile dikkati çeken Zendevi volkanitleri inceleme alanı içerisinde Küçük Kabaca kuzeyinde, Almacık Tepe civarında mostra vermektedir.

Koçyiğit (1984b), Kızılçık Formasyonu içerisinde dayk ve volkanik boyun şeklinde gözlenen ve aşınma sonucu ortaya olmuş olan löosit, lösit-trakit, egirin-trakit, ve trakitik bileşimdeki volkanikleri Zendevi volkanikleri olarak ayırtlamıştır.

#### 4.1.5.2 Litoloji

Küçük Kabaca kuzeyinde volkanitler bozunma rengi gri, kahvemsi gri ve taze kırık yüzey rengi gri, koyu gri, yeşilimsi gri renklerde gözlenmektedir. Kayaç oldukça sert ve kıymıgsı kırılgan özelliklerdedir. İçerisinde prizmatik siyah küçük fenokristaller gözleniyor. Almacık Tepe civarında volkanikler dom ya da volkanik boyun şekilli mostra vermektedirler (Şekil 4.15). Burada volkanikler oldukça altere olmuşlardır. Bozunma rengi gri, yeşilimsi gri, kırmızımsı kahve, siyah, koyu gri, kahvemsi gri, sarımsı yeşil ve taze kırık yüzey rengi gri, yeşilimsi gri renklerde gözlenmektedir. Afanitik, afanitik porfirk dokulu olup sanidin fenokristalleri gözlenebilmektedir. Arazide ince lav akışları şeklinde gelişmiş masif dom yapısı sunmaktadır. Kayaçta siyah prizmatik mafik minerallerde gözlenmektedir. Lav çıkışının kenar kesimleri oldukça parçalı ve breşik yapıda gözlenmektedir.



Şekil 4.15. Küçük Kabaca kuzeyinde Dereköy Formasyonu'nu kesen trakitik lav çıkışı

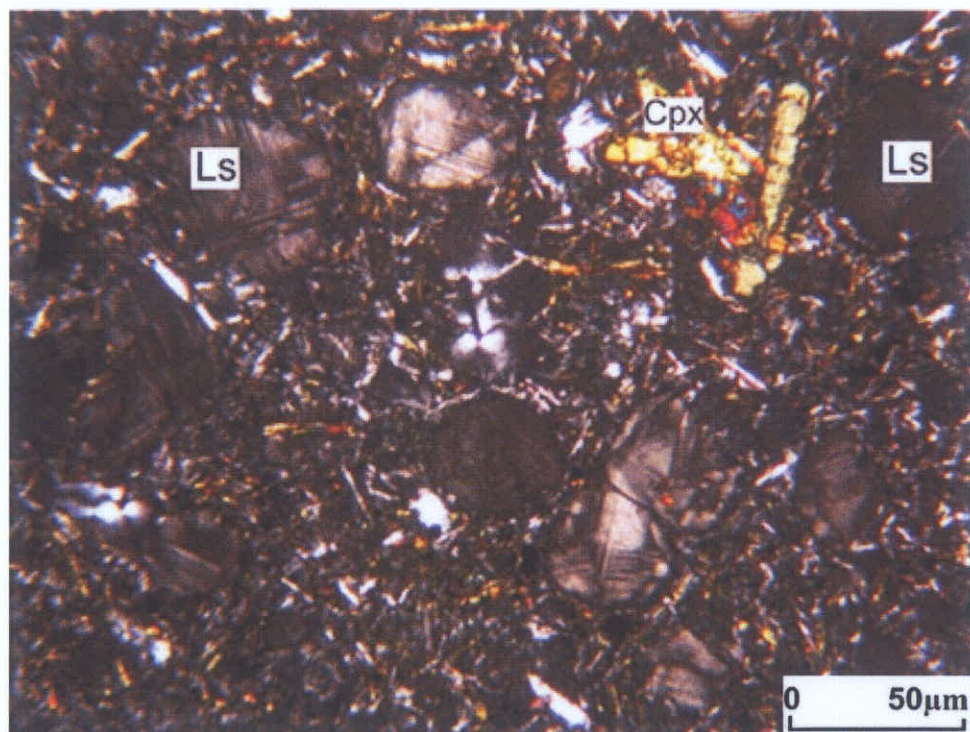
#### **4.1.5.3. Petrografi**

Lösit fonolit: Kayaç porfirik doku göstermektedir. Genel olarak lösit (yaklaşık %80), sanidin, klinopiroksen, opak minerallerden oluşmakta ve porfirik doku sunmaktadır. Matriks genel olarak mikrolitik sanidinlerden ve daha az oranda iğnemsi, prizmatik piroksenlerden oluşmaktadır. Mikrolitik matriks yer yer akma dokusu sunmaktadır. Feldspatların olduğu kesimlerde yer yer karbonatlaşma gözlenmektedir.

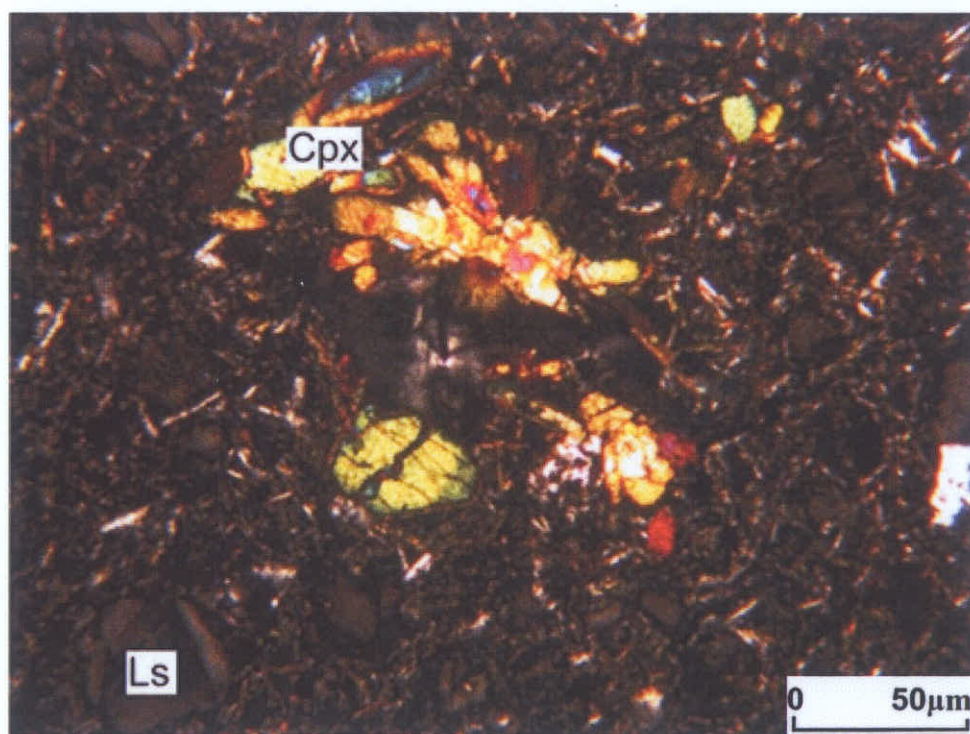
Lösit kristalleri genellikle kenarlarından itibaren korozyona uğramış durumda ve yuvarlaklaşmış durumdadır (Şekil 4.16). ÇN'de I. Dizi alt girişim renklerini sunmakta ve polisentetik ikizlenmeleri ile karakterize olmaktadır.

Klinopiroksenler genelde yarıözşekilli, özsekilsiz olup ÇN'de II-III. dizi girişim renklerini sunmaktadır (Şekil 4.17). Bazı kristaller TN'de kenar zonlarında yeşilimsi renk sunmakta ve orta kesimleri renksizdir.

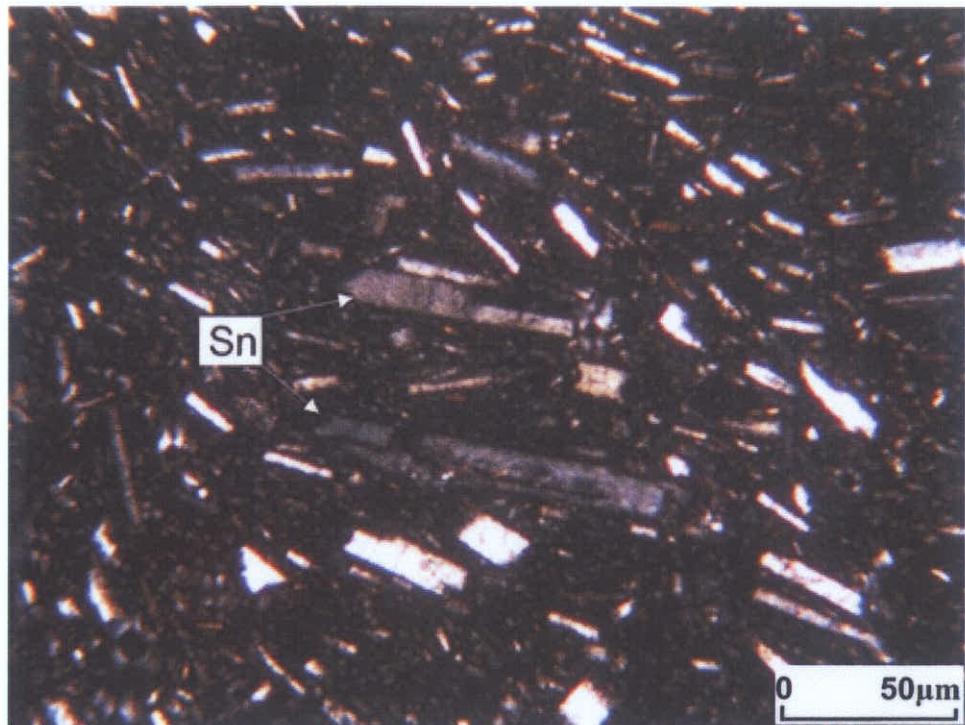
Trakit: Kayaç porfirik dokulu. Mikrolitik sanidinler içerisinde karlspat ikizlenmesi sunan sanidin fenokristallerinden oluşmakta ve akma dokusu sunmaktadır (Şekil 4.18,19,20,21,22). Daha az oranda yarı özşekilli-özsekilsiz klinopiroksen fenokristalleri, sfen, opak minerallerinden oluşmaktadır. Yer yer hematitleşmelere rastlanmaktadır.



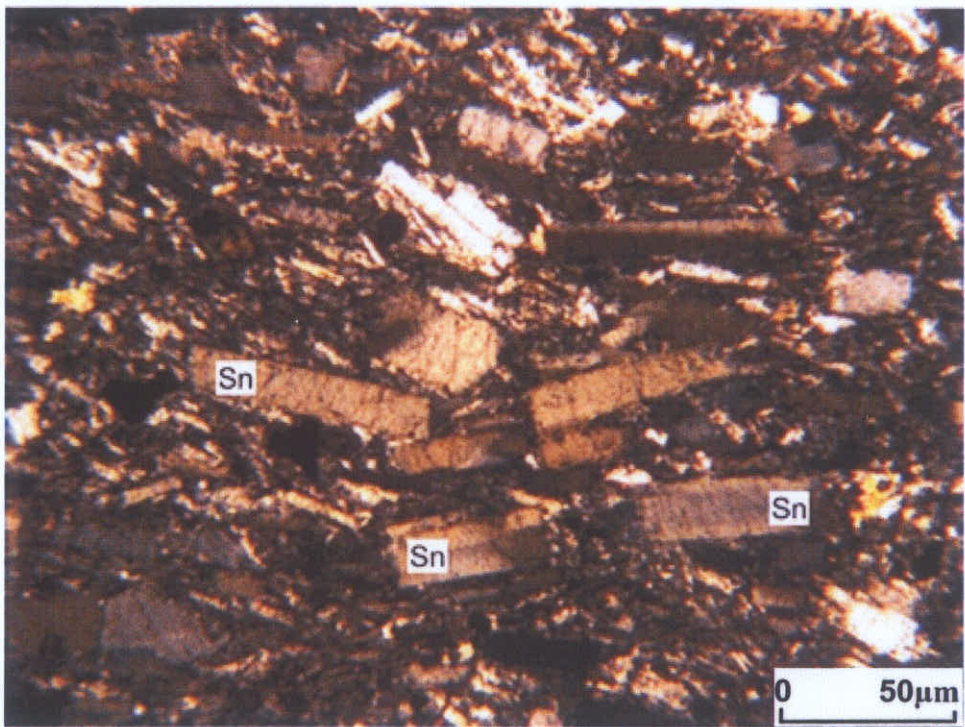
Şekil 4.16. Lösit fonolitlerde lösit ve piroksen kristalleri



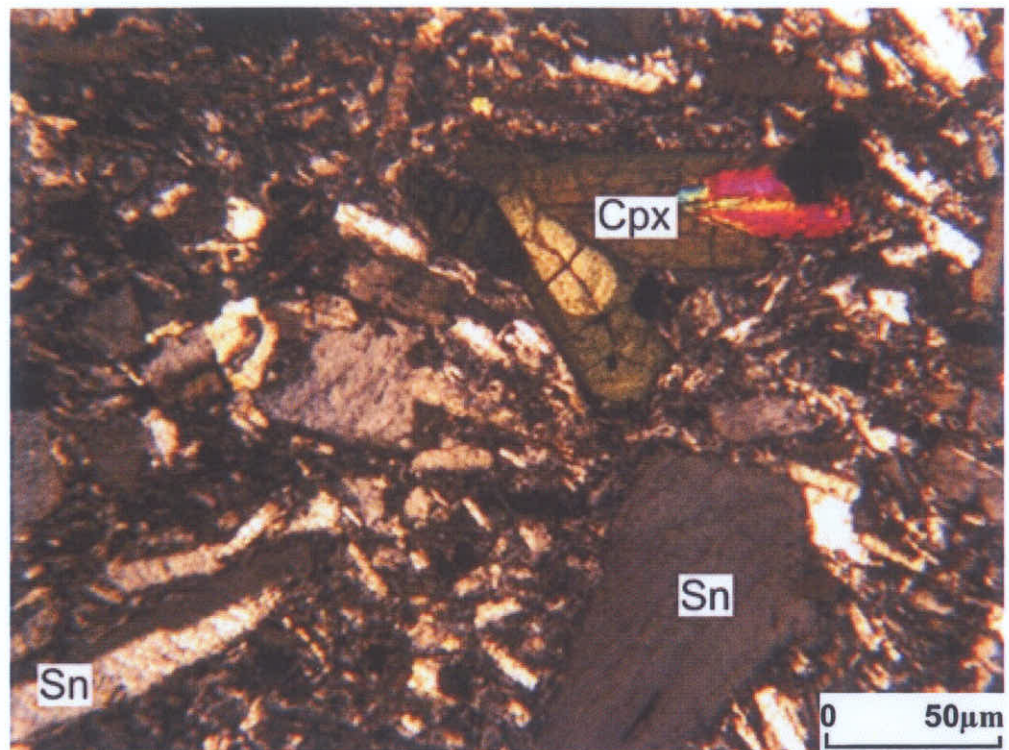
Şekil 4.17. Lösit fonolitlerde piroksen ve lösit kristalleri



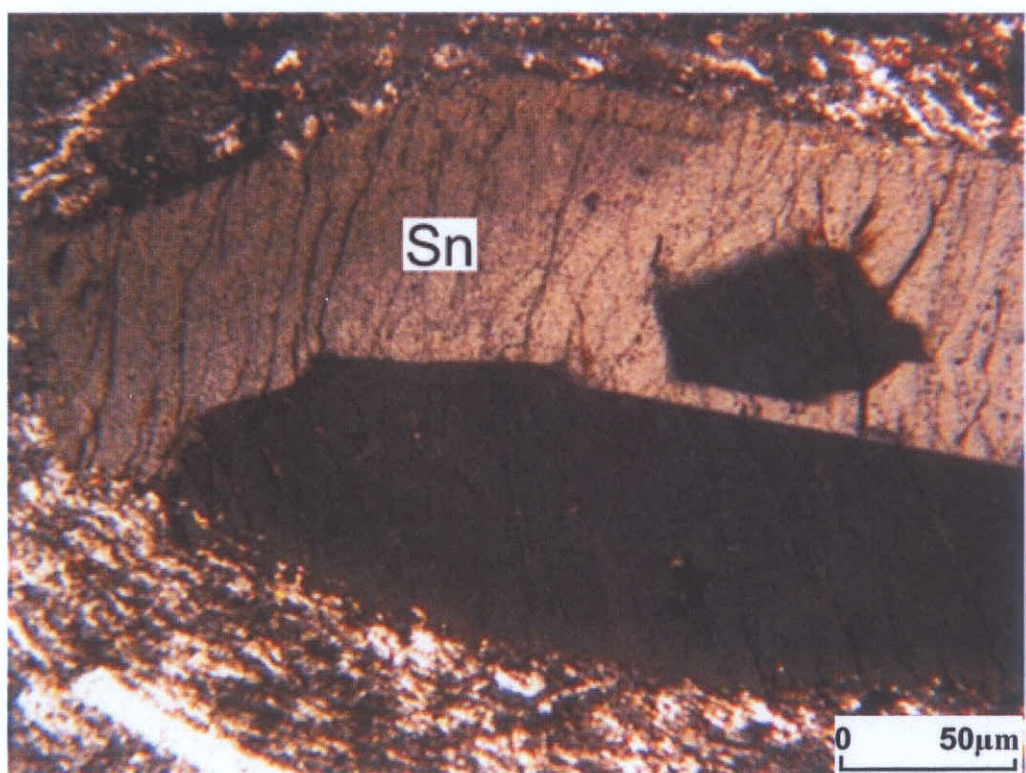
Şekil 4.18. Akma dokusu sunan trakit



Şekil 4.19. Trakit içerisinde sanidin fenokristalleri ve akma dokusu



Şekil 4.20. Trakit içerisinde klinopiroksen ve sanidin fenokristalleri

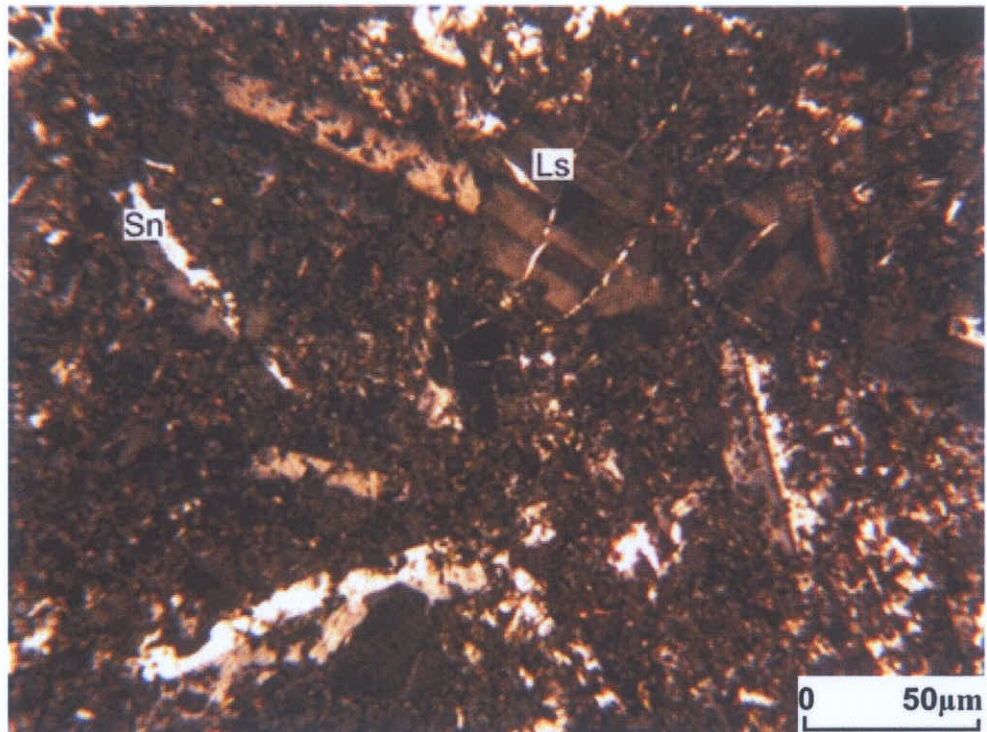


Şekil 4.21. Trakit içerisinde sanidin fenokristali



Şekil 4.22. Trakit içerisinde klinopiroksen fenokristali ve matriksde akma dokusu

Lösit fonolit: Kayaç genel olarak lösit ve sanidin fenokristalleri, bunun yanında daha az miktarda klinopiroksen, apatit ve opak kristaller içermektedir (Şekil 4.23). Tüm kristaller genellikle kenarlarından itibaren korozyona uğramış durumdadır. Sanidinler karlspat ikizlenmesi ile belirgindir.



Şekil 4.23. Lösit fonolitlerde yer alan lösit ve sandin fenokristalleri (x2)

#### 4.2. Jeokimya

İnceleme alanında mostra veren volkanik kökenli kayaçlardan 10 adet örneğinin jeokimyasal analizleri yapılmış ve analiz sonuçları Çizelge 1'de sunulmuştur. Jeokimyasal analiz yöntemleri “Materyal ve Yöntemler” bölümünde tanımlanmıştır. Jeokimyasal analizler, volkanik kayaçların sınıflaması amacı ile Le Bas vd., (1986), tarafında geliştirilmiş TAS ( $K_2O+Na_2O-SiO_2$ ) diyagramında değerlendirilmiştir. Söz konusu diyagramda 4 adet volkanik kayaç örneği trakit alanında, tüfler içerisinde yer alan 2 adet volkanik kayaç örneği fonotefrit alanında, 3 adet volkanik kayaç örneği ise fonolit alanında yer almaktadır (Şekil 5.1). Alkali karakterdeki tüm volkanik kayaç örneklerinde  $K_2O/Na_2O$  oranı 2' nin üzerinde olup ultrapotasyik karakter taşımaktadırlar (Şekil 5.2 ve 5.3).

Trakitlerde major oksit değerleri,  $SiO_2$  (63.5-65 wt%),  $TiO_2$  (0.38-0.4 wt%),  $Al_2O_3$  (16.77-17.17 wt%),  $Fe_2O_3$  (2.94-3.14 wt%),  $MgO$  (0.17-0.47 wt%),  $CaO$  (1.22-2.51 wt%),  $Na_2O$  (3.4-3.76 wt%),  $K_2O$  (8.46-8.68 wt%) arasında değişmektedir. Trikitler

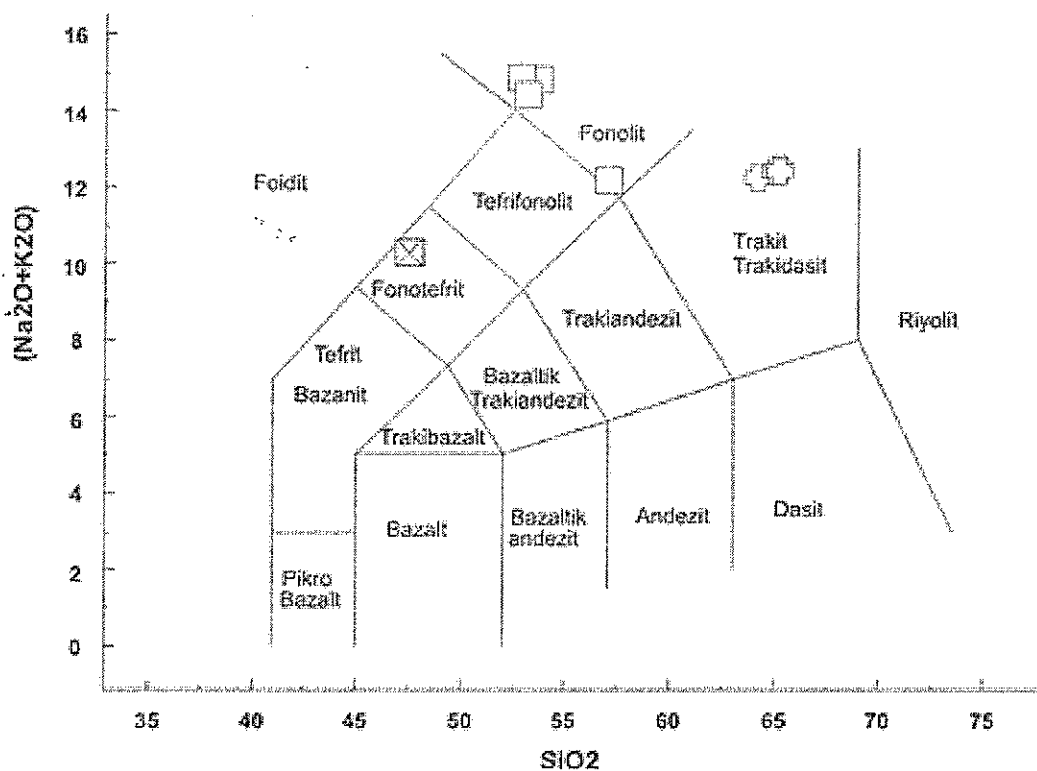
LIL elementler (Ba:1826-2104 ppm; Sr:1292-1376 ppm; Rb:228-275 ppm) ve LREE açısından zenginleşme göstermektedirler ( $(La/Sm)_n$ : 3.71-5.86;  $(La/Yb)_n$ : 7.17-15.78)) (Şekil 5.4a). Fonotefritlerde major oksit değerleri,  $SiO_2$  (45.9 wt%),  $TiO_2$  (1.82-1.85 wt%),  $Al_2O_3$  (13.5 wt%),  $Fe_2O_3$  (11.23-11.58 wt%),  $MgO$  (4.09-4.15 wt%),  $CaO$  (8.2-9.29 wt%),  $Na_2O$  (1.9-2.72 wt%),  $K_2O$  (7.19-7.96 wt%) arasında değişmektedir. LIL elementler (Ba:6374-64.39 ppm; Sr: 1558-1812 ppm; Rb:708-731 ppm) ve LREE açısından zenginleşme göstermektedirler ( $(La/Sm)_n$ :3.71-3.88;  $(La/Yb)_n$ : 4.12-4.31)) (Şekil 5.4b). Lösit fonolitlerde  $SiO_2$  (51.9-55.79 wt%),  $TiO_2$  (0.74-0.82 wt%),  $Al_2O_3$  (18.46-18.73 wt%),  $Fe_2O_3$  (5.01-5.57 wt%),  $MgO$  (0.79-1.06 wt%),  $CaO$  (3.77-5.7 wt%),  $Na_2O$  (0.92-3.45 wt%),  $K_2O$  (10.95-12 wt%) arasında değişmektedir. LIL elementler (Ba:5077-5321 ppm; Sr:2146-2354 ppm; Rb:370-948) ve LREE açısından zenginleşme göstermektedirler ( $(La/Sm)_n$ : 5.48-5.86;  $(La/Yb)_n$ :25.29-27.09)) (Şekil 5.4c). Primitif mantle normalize edilmiş spider diyagramlarında tüm kayaç örnekleri negatif Nb-Ta-Ti anomalisi göstermektedirler (Şekil 5.5a,b,c).

Çizelge 5.1. Kızılıcık Formasyonu içerisinde yer alan volkanik kökenli bileşenlerin ve Zendevi volkanitlerinin major, minör ve iz element içerikleri.

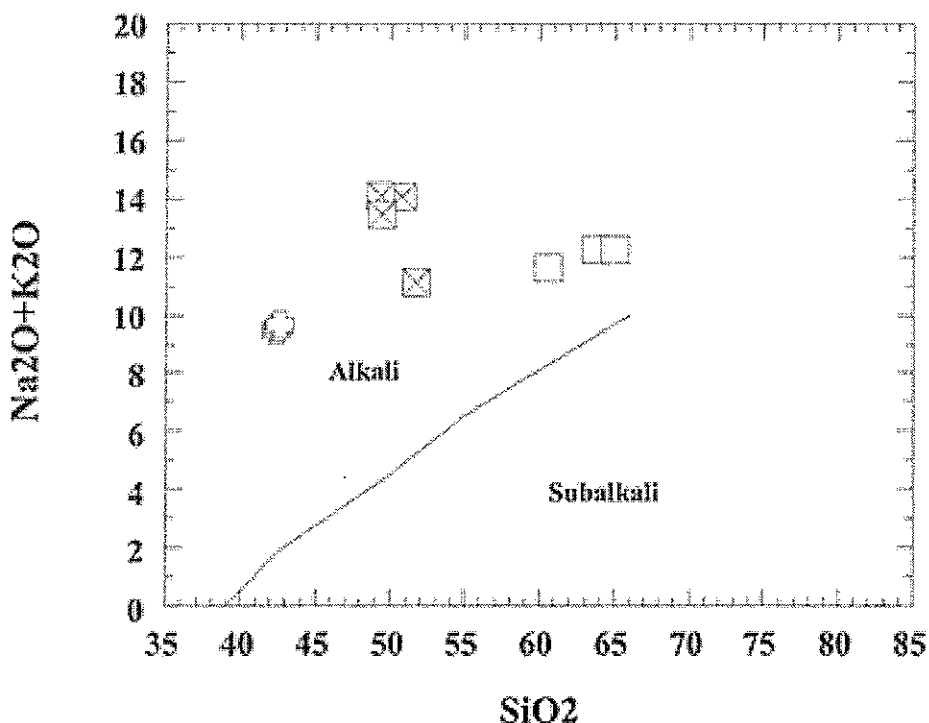
Örnek	US-20	US-21	US-22	US-23	US-2 Tüf	US-2A Tüf	US-17	US-18	US-24	US- 25
Major oksit wt %	Trakit				Fonotefrit		Lösit Fonolit			
$SiO_2$	63.5	64.8	65	64.46	45.9	45.9	55.79	53	51.9	52.3
$TiO_2$	0.38	0.4	0.4	0.38	1.85	1.82	0.76	0.74	0.82	0.8
$Al_2O_3$	16.77	16.97	17.17	17.05	13.5	13.15	18.94	18.46	18.58	18.73
$Fe_2O_3$	3.02	3.02	3.14	2.94	11.58	11.23	5.36	5.01	5.57	5.54
$MnO$	0.07	0.04	0.04	0.06	0.2	0.2	0.1	0.11	0.11	0.11
$MgO$	0.47	0.29	0.17	0.21	4.15	4.09	0.9	1.39	0.79	1.06
$CaO$	2.51	1.63	1.22	1.38	8.2	9.29	3.77	5.15	5.7	5.41
$Na_2O$	3.4	3.8	3.73	3.76	1.9	2.72	0.92	3.45	2.64	2.1
$K_2O$	8.68	8.54	8.64	8.46	7.96	7.19	10.95	11.14	11.9	12
$P_2O_5$	0.06	0.07	0.05	0.05	1	1	0.16	0.15	0.13	0.13
LOI	4.1	1	1.1	0.8	7.1	6.4	6.2	3.2	3.9	4.2
SUM	99.48	99.5	99.5	99.5	98.75	98.71	98.98	98.95	98.81	98.96
İz element ppm										
Ba	2081	1826	2104	1924	6374	6438	5077	5082	5321	5234
Sr	1376	1336	1292	1334	1558	1812	2146	2354	3509	2245
Rb	228	275	264	263	709	831	948	370	469	400
Cs	13.4	8.7	8.3	11.2	178	249	38.1	19.3	19.7	17.8
Th	51.4	50.9	52.2	56.8	43.6	43.8	72.3	71.1	63.7	63.9
U	12.7	11.9	14.5	11.8	16.4	16.6	6.7	28.6	19.8	28.5
Co	1.9	1.9	2.1	1.7	33.5	33.8	6.1	6.1	7.9	8.5

Çizelge 5.1.(Devam)

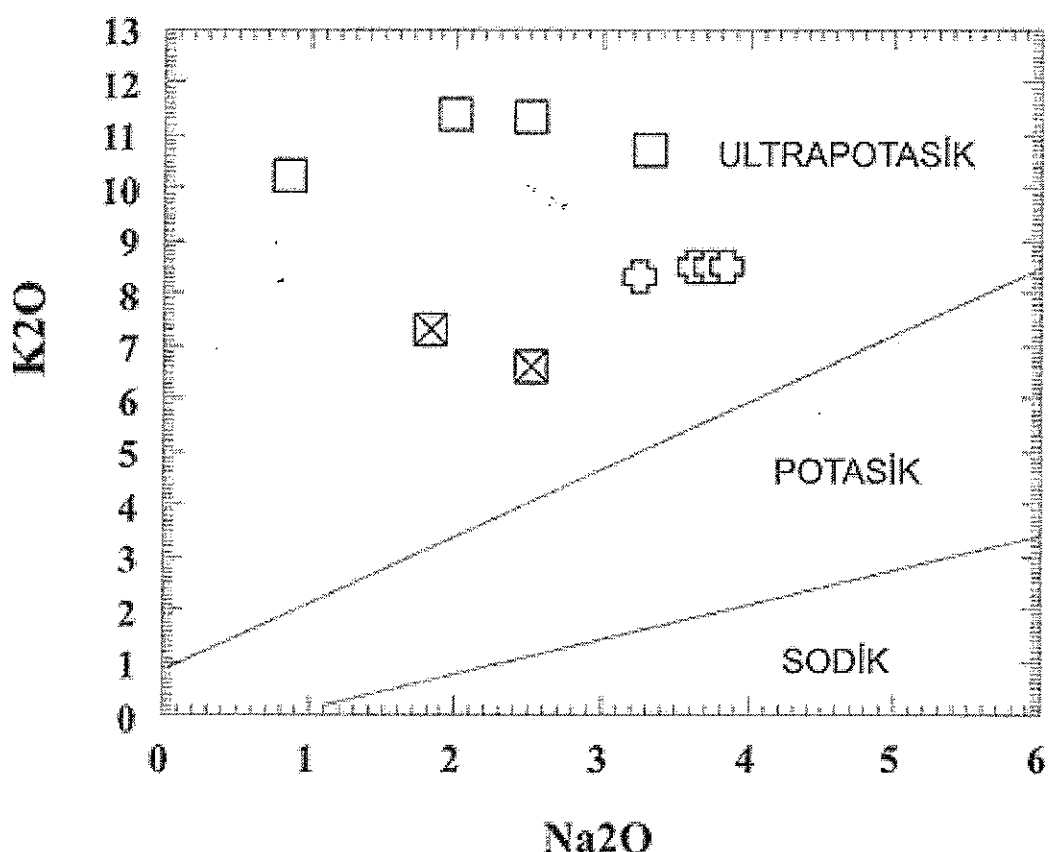
Zr	540	544	542	533	734	774	575	560	563	566
Y	21.6	25.7	27	23.3	30.1	32.4	30.4	28.1	23.1	22.7
V	41	45	42	41	334	306	108	122	149	157
Ga	17.8	17.6	18.3	18	18.6	18.2	20.2	21.1	19.2	17.9
Hf	15.2	16	16.6	15.7	20.2	21.1	13.9	14.7	15.5	14.5
Nb	29.5	28.6	29.7	29.3	37.9	41.1	38.6	37.7	36.6	36.5
Ta	1.8	2.1	1.9	1.8	2.5	2.5	2.7	2.6	2.3	2.2
Zn	19	65	37	54	95	92	25	47	42	40
Cu	7.1	11	8.1	6.9	178	163	10.3	19	19.4	20.2
Pb	13.7	117	14.1	17.3	92.3	103	48.5	103	109	108
Sn	5	5	5	4	8	9	5	5	4	4
Ni	2.1	1.2	0.6	0.6	15.8	14.2	0.5	1.2	0.5	0.2
Sc	3	3	3	3	15	15	2	2	2	2
Nadir Topral Element ppm										
La	60.3	69.4	68.2	59.5	89.3	94.9	108	101.3	81.9	80.4
Ce	114.2	126.5	119.8	111.1	192.2	199.2	200.2	195.7	150.8	151.5
Pr	12.14	13.09	13.47	12.1	22.31	23.3	21.84	20.95	15.4	15.53
Nd	43.6	49	50.4	45.6	90.3	92.9	82.1	79.1	56.4	59.9
Sm	7.17	7.68	8.09	7.32	15.53	15.78	12.51	11.93	9.12	8.85
Eu	1.78	1.8	1.93	1.7	3.73	3.93	2.98	2.83	2.23	2.17
Gd	5.87	6.37	6.83	5.9	12.21	12.94	9.87	9.32	7.43	7.05
Tb	0.78	0.85	0.9	0.77	1.44	1.5	1.14	1.11	0.89	0.89
Dy	3.65	4.23	4.6	4	6.35	6.92	5.39	5.5	4.2	4.45
Ho	0.7	0.81	0.92	0.77	1.02	1.07	0.97	0.92	0.83	0.79
Er	2	2.53	2.82	2.23	2.7	2.93	2.94	2.75	2.37	2.21
Tm	0.32	0.37	0.43	0.35	0.37	0.39	0.44	0.41	0.38	0.35
Yb	2.2	2.54	2.92	2.35	2.38	2.54	2.86	2.69	2.23	2.28
Lu	0.32	0.41	0.44	0.35	0.34	0.36	0.39	0.38	0.34	0.34



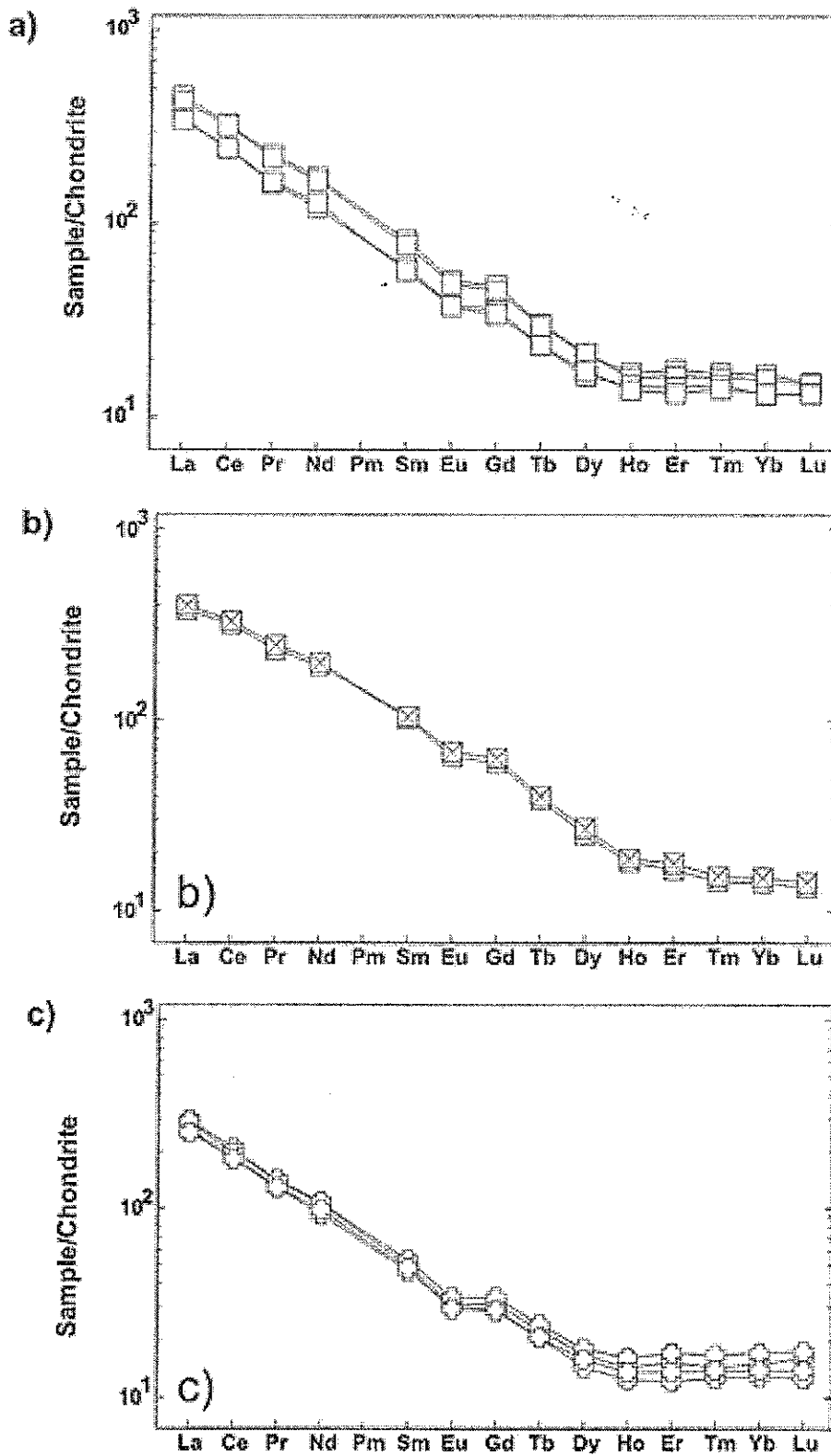
Şekil 5.1. İnceleme alanında yer alan volkanik kökenli kayaçların TAS (Toplam Alkali-Silika) diyagramındaki konumları (Diyagram Le Bas vd., 1986'dan alınmıştır)



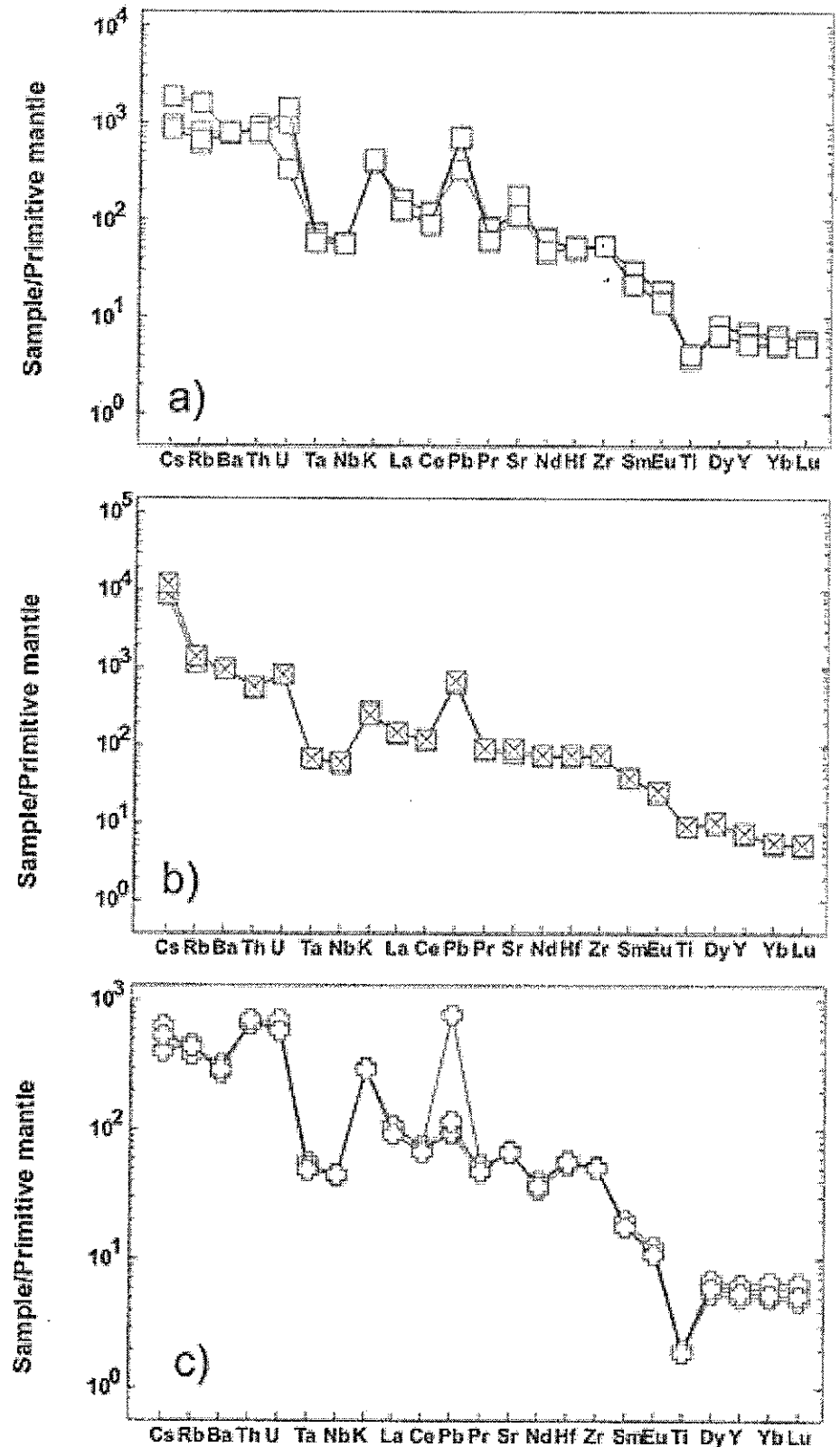
Şekil 5.2. İnceleme alanında yer alan volkaniklerin  $\text{Na}_2\text{O}+\text{K}_2\text{O}/\text{SiO}_2$  (Irvine ve Baragar, 1971), diyagramında konumları



Şekil 5.3. K<sub>2</sub>O/Na<sub>2</sub>O diyagramında (Middlemost, 1975), inceleme alanında yer alan volkaniklerin konumları



Şekil 5.4. İnceleme alanında yer alan volkanik kökenli kayaçların Kondrite göre normalize edilmiş nadir toprak elementlerinin dağılımı. Normalize değerler Sun ve McDonough (1989)'dan alınmıştır



Şekil 5.5. İnceleme alanında yer alan volkanik kökenli kayaçların Primitiv mantoya göre normalize edilmiş spider diyagramındaki konumları. Normalize değerler Sun ve McDonough (1989)'dan alınmıştır

### **4.3. Tartışma**

Güneybatı Türkiye'de KD-GB doğrultulu Beydağları otoktonu ile KB-GD doğrultulu Anamas-Akseki otoktonu Isparta civarında birleşerek ters 'V' şeklinde bir yapı oluşturmaktır ve bu yapı Isparta Büklümü olarak adlandırılmaktadır. Bu çalışmanın konusunu oluşturan Senirkent (Isparta) kuzeyinde yer alan volkanikler Beydağları otoktonu ile Anamas-Akseki otoktonunun birleştiği büklüm bölgesinin hemen kuzeyinde yer almaktadır. Isparta Büklümü aynı zamanda Orta Anadolu 'Ova' ile Batı Anadolu Gerilme Provensi arasında bir geçiş bölgesini temsil etmektedir. Isparta Büklümünün hemen kuzeyinde Afyon ve civarında yer alan volkanikler ile güneye doğru Gölcük volkaniklerinin de (Isparta) içerisinde yer aldığı Isparta Büklümü içerisindeki volkaniklerin oluşturduğu alan Kırka-Afyon-Isparta volkanik provensi olarak tanımlanmıştır (Francalanci vd., 2000) ve inceleme alanı bu volkanik provens içerisinde yer almaktadır. İnceleme alanı içerisinde yer alan volkanik kökenli kayaçlarda  $K_2O$ 'nin  $Na_2O$ 'ye oranı daha yüksektir.  $K_2O$  içeriği  $Na_2O$ 'den fazla olan yada  $K_2O/Na_2O$  oranı  $\geq 1$  olan magmatik kayaçlar genel olarak potasik kayaçlar olarak tanımlanmaktadır. Hem  $K_2O$  içeriği hemde  $MgO$  içeriği 3'ün üzerinde olan ve  $K_2O/Na_2O$  oranı 2' nin üzerinde olan kayaçlar ultrapotasyumlu kayaçlar olarak sınıflandırılmıştır (Foley vd., 1987). Kırka-Afyon-Isparta volkanik provensi genel olarak potasik-ultrapotasik kayaçlarla temsil edilmektedir (Francalanci vd., 2000; Alıcı vd., 1998). Aynı şekilde inceleme alanı içerisinde yer alan volkanik kökenli kayaçlar da potasik karakterli kayaçlar olarak tanımlanabilir. Potasik magmatik kayaçlar potasyumca zengin kalk-alkaline magmatik kayaçlar, yitimle ilişkili şoşonitler, levha içi potasik kayaçları, orojenik ultrapotasyumlu kayaçlar, şoşonitik ve alkali lamprofirler şeklinde gruplandırılmıştır (Morrison, 1980; Müller ve Groves, 1997). Dolayısıyla gelişimleri jeotektonik ortam açısından da konverjan levha kenarlarında (orojenik) ya da çarışma sonrası gerilme tektoniğinin hakim olduğu bölgeler ile gerilme rejiminin etkin olduğu stabil kıta içi ortamlarda (anorojenik) gelişimleri ileri sürülmektedir (Pecerillo vd., 1984; Poli vd., 1984; Beccaluva vd., 1991; Van Bergen vd., 1992; Nelson, 1992). Batı Akdeniz'den başlayarak doğu Asya'ya kadar uzanan ve Türkiye'nin de içerisinde yer aldığı tüm Alp-Himalaya kuşağı boyunca orojenik ve anorojenik potasik-ultrapotasik volkanik

kayaçlara rastlanmaktadır (Ding vd., 2003; Pecerillo ve Martinotti, 2006; Lustrino vd., 2007). Orta ve güney İtalya bölgelerinde olduğu gibi bazı yitimle ilişkili bölgelerde gelişen potasik volkanizmanın yitimin son safhasında mı yoksa yitim sonrası oluşan gerilme tektoniğine bağlı olarak bir rift ortamında mı geliştiği de tartışılmaktadır (Pecerillo vd., 1984).

Alp-Himalaya kuşağı üzerinde ve doğu Akdeniz bölgesinde yer alan Türkiye'de Paleotetis ve Neotetis okyanus havzalarının kapanması ve buna bağlı yitimle ilişkili magmatik olaylar, yine çarışma ve çarışma sonrası gerilme tektoniğine bağlı magmatik faaliyetler özellikle Senozoyik döneminin farklı devirlerinde ortaya çıkmıştır. Yine güneybatı Türkiye'de, Isparta Büklümü ve çevresinde potasik-ultrapotasik karakterde söz konusu volkanik faaliyetlerin yoğun olarak geliştiği bilinmektedir. Koçyiğit (1983), Hoyran Gölü dolayının tektonik gelişimini; eski tektonik dönem (Liyas-Maastrichtyen aralığında), geçiş dönemi (Üst Lütesyen sonu ile Orta Oligosen arası dönem) ve yeni tektonik dönem olmak üzere üç ayrı tektonizma dönemine ayırmıştır. Orta Oligosen sonu ile günümüz arasını kapsayan yeni tektonik dönemde Isparta Büklümü kuzey kesiminin bölgesel kabarma, blok faylanma, alkalen volkanizma faaliyetleri ile temsil edildiğini ve bölgenin günümüzdeki görünümünü kazandığını ifade etmiştir. Özellikle Üst Miyosen günümüz aralığının blok faylanma ile karakterize olduğunu iteri sürdürmüştür. Ayrıca akarsu yatağı, delta ve göl ortamlarında oluşmuş tortullar, bunlarla yanal-düsey geçişli ve eş yaşılı alkalen volkanizma ürünleriyle, bunları denetleyen blok faylanma türündeki tektonik rejim yeni tektonik dönemin ürünlerini olduğunu ifade etmiştir. Yine Koçyiğit (1984), Afyon-Isparta civarını kapsayan Isparta Büklümü'nün kuzey iç kesiminde Üst Miyosen-Pliyosen yaşılı potasyumca zengin alkalen özellikli levha içi volkanizma ürünü volkaniklerin (örneğin trakit, lösit-trakit, lösit-egirin trakit, löosit, lösitli tuf, tuf, tüfit, aglomera) bir taraftan karasal tortullarla yanal ve düsey geçişli olduğunu, diğer taraftan da daha yaşılı birimleri kesen dayk ve yan koniler biçiminde hem grabenlerin içinde hem de onları sınırlayan faylar boyunca dizilmiş olduklarını, dolayısıyla çekme tektoniğine bağlı blok faylanmalar ile volkanizma arasında sıkı bir ilişki olduğunu belirtmiştir. Fransaçancı vd., (2000), Kırka-Afyon-Isparta volkanik provensi (KAIIV) içerisindeki volkaniklerin Isparta Büklümü'ünü ortadan kuzey-

güney yönünde bölen bir tektonik hat boyunca dizildiklerini, bu volkaniklerin kökensel olarak Afrika plakasının Avrasya altına dalmasıyla ilişkili olduğunu ve orojenik afinité gösterdiklerini, bunun yanında Bucak (Burdur) dolayındaki ultrapotasyik volkaniklerin levha içi (within-plate) afinité gösterdiklerini belirtmişlerdir. Keller (1983), Anadolu'daki volkaniklerin genel olarak silisik ignimbiritlerle birlikte yüksek potasyum (HK) kalkalkalen andezit ve dasit bileşimli oldukları, Konya yöresindeki volkaniklerin kıtasal kalkalkalen yada "And tipi" volkaniklere tipik bir örnek oluşturduğunu, Afyon volkaniklerini de içerisinde alan Anadolu'nun büyük bir kesimindeki volkaniklerin kaynağının dalan litosferden türeyen LIL elementlerce zenginleşmiş manto kaynağı olduğunu ifade etmiştir. Aydar vd., (2003), Afyon stratovolkanı içerisinde yer alan lamprofirlerin volkanik aktivitenin son safhasında hidrovolkanik ürünler, afanitik lav akıntıları ve dayk intrüzyonları şeklinde yerleştiklerini, bu lamprofirlerin manto metasomatizması ile ilişkili olarak LILE ve Zr açısından zenginleşme göstergelerini belirtmişler, küçük miktardaki lamprofirik magmanın yerleşmesi için gerilme rejimi altında oluşmuş çıkış kanallarının olması gereği üzerinde durmuşlardır. Çoban ve Flower (2007), Isparta Büklümü ve kuzeyini kapsayan Kırka-Afyon-Isparta volkanik provensi içerisinde hem orojenik şoşonitlerin hem de orojenik olmayan levha içi karakter taşıyan lamproitik kayaçların birlikte yer aldığı, Üst Pliyosen ultrapotasyik Buca lamproitlerinin OIB karakteri sunduğunu belirtmişlerdir. Yazarlar bu volkanik provens içerisinde bulunan orojenik ve orojenik olmayan magmaların hem litosferik manto hem de kabuksal malzemeden kirlenmiş konvektif hareket sunan bir astenosferik manto kaynağından farklı basınçlar altında oluşturuklarını ileri sürmüştür. Yine Çoban (2006), Bucak yöresinde yer alan silika açısından fakir löosit lamproitlerin muhtemelen flogopit içeren refrakter peridotitin 1.5-2 GPa basınç altında kısmi ergimesiyle oluşturuklarını açıklamıştır. İnceleme alanı içerisinde yer alan volkanik kökenli kayaçlarda primitiv mantoya göre normalize edilmiş spider diyagramlarında birbirlerine paralellik sunmaktadır. Bu diyagramda volkanik kökenli kayaçlar iri katyonlu litofil (LIL) elementler açısından zenginleşme ve negatif Nb-Ta-Ti anomalisi sunmaktadır. Tüm bu veriler yitimle ilişkili gelişmiş magmatik kayaçların özelliklerini yansıtmaktadır.

## 5. SONUÇLAR

Senirkent (Isparta) kuzeyinde yer alan yaklaşık olarak 350 km<sup>2</sup>lik bir alanın jeolojisi ve petrografisinin ortaya konulması amacıyla hazırlanan bu çalışmada aşağıdaki sonuçlar elde edilmiştir.

Çalışma alanının 1/25000'lik haritası çıkarılarak yüzeylenen kayaçlar Formasyon mertebesinde ayırtlanmıştır.

Bölgelinin stratigrafisi çıkarılmıştır. Buna göre kaya toplulukları ayrılmamış karbonatlar, Dereköy Formasyonu, İncesu Formasyonu, Kızılçık Formasyonu, Alüvyon ve yamaç molozundan oluşur.

Ayrılmamış karbonatlar farklı renk tonları ile karakterize edilmekte, yer yer masif yapılı, ince-orta-kalın katmanlı, farklı karbonat fasiyesleri ile temsil edilen genel olarak Üst Kretase-Orta Eosen aralığında çökelmanış karbonatları kapsamaktadır. Üst Eosen yaşılı fliş karakterli Dereköy Formasyonu ayrılmamış karbonatlar üzerine uyumlu olarak gelmekte ve Orta yaşılı İncesu Konglomeraları tarafından yine uyumlu olarak üzerlenmektedir.

Tüf, tüf breşi, aglomera gibi volkanik kökenli kayaçlardan oluşan ve içerisinde yer yer değişik tane boylu kireçtaşları kııntılarından oluşan, genel olarak orta-kalın katmanlanma sunan birim Kızılçık Formasyonu olarak ayırtlanmıştır. Yine tüm birimleri keserek çıkan volkanik boyun, lav domu şeklinde yüzeyleme veren volkanik kayaçlar Zendevi volkanitleri olarak ayırtlanmıştır. Volkanikler genel olarak trakit, lösit fonolit, fonotefrit bileşimlidir.

Tüm volkanik kayaçlar LIL elementler ve LREE açısından zenginleşme sunmakta (trikitlerde Ba:1826-2104 ppm; Sr:1292-1376 ppm; Rb:228-275 ppm ve  $(La/Sm)_n$ : 3.71-5.86;  $(La/Yb)_n$ : 7.17-15.78; fonotefritlerde Ba:6374-64.39 ppm; Sr: 1558-1812 ppm; Rb:708-731 ppm ve  $(La/Sm)_n$ : 3.71-3.88;  $(La/Yb)_n$ : 4.12-4.31); lösit fonolitlerde (Ba:5077-5321 ppm; Sr:2146-2354 ppm; Rb:370-948 ve  $(La/Sm)_n$ : 5.48-

5.86; ( $\text{La/Yb}_{\text{n}}$ :25.29-27.09) arasında değişmektedir. Primitif mantle normalize edilmiş spider diyagramlarında tüm kayaç örnekleri negatif Nb-Ta-Ti anomalisi göstermektedirler.

Tüm petrolojik veriler Senirkent kuzeyinde yer alan potasik karakterli volkanik kökenli kayaçların yitim zonundan etkilenmiş metasomatize mantodan türediklerine işaret etmektedir.

## 6. KAYNAKÇA

- Akal, C., Helvacı, C., 2002. Melilit-lösititlerin mineralojisi ve jeokimyası, Balçıkhisar - Afyon. 55. Türkiye Jeoloji Kurultayı (Ankara), Bildiri Özleri, 6-8.
- Alici, P., Temel, A., Gourgaud, A., Kieffer, G., Gündoğdu, M.N., 1998: Petrology and geochemistry in the Gölcük area (Isparta, SW Turkey): genesis of enriched alkaline magmas, Journal of Volcanology and Geothermal Research, 85, 423-446.
- Aydar, E., Bayhan, H., Zimotoğlu, O., 1996. Investigation of volkanologikal and petrological evolution of Afyon stratovolcano, Bulletin of EarthScience App. And Res. Cent. Of Hacettepe Univ., 18, 87-107
- Aydar, E., Bayhan, H., Gourgaud, A., 2003. The lamprophyres of Afyon stratovolcano, western Anatolia Turkey: description and genesis,C.R. Geoscience, 335, 279-288.
- Başarır, E. ve Kun, N., 1982, Afyon kalesi çevresindeki volkanik kayaçların petrografik incelemesi; KTÜ Yerbilimleri Derg., 2/1-2, 87-96.
- Beccaluva, L., Di Girolama, P., Serri, G., 1991. Petrogenesis and tectonic setting of the Roman Volcanic Province, Italy, Lithos, 26, 191-221.
- Becker-Platen, J.D., Benda, L., Steffens, P., 1977. Litho und biostratigraphische Deutung radiometrischer Altersbestimmungen au dem jungtertiär der Turkei (Kanozoikum und Braunkohlen edr Turkei, 18). Geol. Jb. B25, 139-167.
- Besang, C., Eckhardt, F.J., Harre, W., Kreuzer, H., and Müller, P., 1977. Radiometrische Alterbestimmungen and Neogenen Eruptivgesteinen der Türkei. Geol. Jb. 25: 3-36.
- Bozkurt, E., 2001. Neotectonics of Turkey-a synthesis, Geodinamica Acta, 14, 3-30
- Çevikbaş, A., Ercan, T., Metin, N., 1988. Geology and Regional distribution of Neogene volcanics between Afyon-Şuhut, METU jurnal of pure and applied sciennnnces. 21, 479-499.
- Çoban, H., Flower, M.F.J., 2007. Late Pliocene lamproites from Bucak, Isparta (southwestern Turkey): Implications for mantle “wedge” evolution during Africa-Anatolian plate convergence, Journal of Asian Earth Sciences, 29, 160-176.
- Ding, L., Kapp, P., Zhong, D., Deng, W., 2003. Cenozoic volcanism in Tibet: evidence for a transition from oceanic to continental subduction, Journal of Petrology, 44(10), 1833-1865.
- Elitok, Ö., Özgür, N., Drüppel, K., Dilek, Y., Platevoet, B., Guillou, H., Poisson, A., Scaillet, S., Satır, M., Siebel, W., Bardintzeff, J-M., Deniel, C., Yılmaz, K., 2010. Origin and geodynamic evolution of late Cenozoic alkali potassium-rich volcanism in Isparta area, SW Turkey. International Geology Review, Vol. 52, (4-6), 454-504.

- Erişen, B., 1972. Afyon-Heybeli (Kızılkilise) jeotermal araştırma sahasının jeolojisi ve jeotermal enerji olanakları. MTA Enstitüsü Derleme Raporu, Rapor No:3107 (Yayınlanmamış).
- Foley, S. F., Venturelli, G., Green, D.H., Toscani, L., 1987. The ultrapotassic rocks: characteristics, classification and constraints for petrogenetic models, Earth Science Reviews, 24, 81-134.
- Francalanci, I., Civetta, L., Innocenti, F., and Manetti, P., 1990. Tertiary-Quaternary alkaline magmatism of the Aegean-Western Anatolian area: a petrological study in the light of new geochemical and isotopic data. IESCA-1990 Proceedings vol. II, 385-389, İzmir-Turkey
- Francalanci, I., Innocenti, F., Manetti, P., Savasçın, M.Y., 2000. Neogene alkaline volcanism of the Afyon-Isparta area, Turkey : petrogenesis and geodynamic implications, Mineralogy and Petrology, 70, 285-312.
- Gutnic, M., 1979. Geologie du Taurus Psidien au nord d'Isparta, Turquie : Principaux résultats extraits des notes de M. Gutnic entre 1964 et 1971 par O. Monod, Université du Paris-Sud Orsay, pp.130.
- Günen, E., Varol, B., 2010. Volcaniclastic-dominated lake deposits, Afyon-Sandıklı region, central-western Anatolia Turkey. Geophysical Research Abstracts, Vol. 12, EGU2010-2731.
- Gürsu ve Göncüoğlu(2005). Batı torosların (Sandıklı GB'sı Afyon) Geç öNeopretorozoyik ve Erken Paleozoyik yaşlı birimlerinin jeolojisi ve petrografisi. MTA Dergisi 130, 29-55, 2005.
- Irvine, T.N., Baragar, W.R.A., 1971. A guide to the chemical classification of common volcanic rocks. Can-Jour. Earth Sci. 8: 523-548.
- İnal, A., 1975. Afyon bölgesi gölsel Neojen’inde bulunmuş yeni iki Gastropod türü ve bir alt türün tanımı. Türkiye Jeoloji Kurumu Bülteni, 18(2), 161-164
- Juteau, T., 1980. Ophiolites of Turkey. Ofioliti, 2, 199-237.
- Karaman, E., Isparta güneyinin temel jeolojik özellikleri. Türkiye Jeoloji Bülteni, 33, 57-67, (1990).
- Keller, J., 1983. Potassic lavas in the orogenic volcanism of the Mediterranean area, Journal of Volcanology and Geothermal Research, 18, 321-335.
- Koçyiğit, A., 1980, Hoyran gölü yöresinin (Afyon - Isparta) stratigrafik ve tektonik özellikleri: Ankara Üniv. Fen Fakültesi, Genel Jeol. Kurs., Doçentlik tezi, 172 s. (Yayınlanmamış).
- Koçyiğit, A., 1983. Hoyran Gölü (Isparta Büklümü) dolayının tektoniği. Türkiye Jeoloji Kurumu Bülten, 26, 1-10.
- Koçyiğit, A., 1984a. Güneybatı Türkiye ve yakın dolayında levha içi yeni tektonik gelişim, Türkiye Jeoloji Kurumu Bülteni, 27, 1-16.
- Koçyiğit, A., 1984b. Tectono-stratigraphic characteristics of Hoyran Lake region (Isparta Bend). 53-67.

- Koçyiğit, A., Deveci, Ş., 2007. A N-S-trending active extensional structure, the Şuhut (Afyon) Graben: commencement age of the extensional neotectonic period in the Isparta Angle, SW Turkey. *Turkish Journal of Earth Sciences*, 16, 391-416.
- Le Bas, M.J., Le Maitre, R.W., Streckeisen, A., Zanettin, B., 1986. A chemical classification of volcanic rocks based on the total alkali-silica diagram: *Journal of Petrology*, v. 27(3), p. 745-750.
- Luhr, J.F., Kyser, T.K., 1989. Primary igneous analcime: The Colima minettes. *American Mineralogist*, 74, 216-223.
- Lustrino, M., Morra, V., Fedele, L., Serracino, M., 2007. The transition between 'orogenic' and 'anorogenic' magmatism in the western Mediterranean area: the Middle Miocene volcanic rocks of Isola del Toro (SW Sardinia, Italy). *Terra Nova*, 19, 148-159.
- Middlemost, E.A.K., 1975. Magmas and magmatic rocks. Longman, London.
- Morrison, G.W., 1980. Characteristic and tectonic setting of the shoshonitic rock association, *Lithos* 13, 97-108.
- Muller, D., Groves, D.I., 1997. Potassic igneous rocks and associated gold-copper mineralization; Sec.Updated. Springer-Verlag, 242pp.
- Neson, D.R., 1992. Isotopic characteristics of potassic rocks: evidence for the involvement of subducted sediments in magma genesis, *Lithos*, 28, 403-420.
- Öngür, T., 1973. Sandıklı (Afyon) jeotermal araştırma bölgесine ilişkin jeolojik durum ve jeotermal enerji olanakları. Maden Tetkik ve Arama Genel Müdürlüğü Rapor No:5520, Ankara, (yayınlanmamış).
- Özpinar, Y., 2008. Sandıklı (Afyon) yöresinde, şabazit ve fillipsit minerali içeren tüflerin mineralojik, petrografik ve iyon değiştirme özellikleri ve tarımda kullanılması (güneybatı Anadolu, Türkiye). *MTA Dergisi*, 137, 27-47.
- Öztürk, E.M., 1989. Balçıkhisar-Karadilli (Afyon) Dereköy (Isparta) dolaylarının jeolojisi. Doktora Tezi, İstanbul Üniversitesi, Fen Bilimleri Enstitüsü, 319 s (Yayınlanmamış).
- Pecerillo, A., Poli, G., Tolomeo, L., 1984. Genesis, evolution and tectonic significance of K-rich volcanics from the Alban Hills (Roman comagmatic region) as inferred from trace element geochemistry, *Contributions to Mineralogy and Petrology*, 86, 230-240.
- Pecerillo, A., Martinotti, G., 2006. The Western Mediterranean lamproitic magmatism: origin and geodynamic significance, *Terra Nova*, 18, 109-117.
- Poli, G., Frey, F.A., Ferrara, G., 1984. Geochemical characteristics of the south Tuscany (Italy) volcanic province: constraints on lava petrogenesis, *Chemical Geology*, 43, 203-221.
- Prelević, D., Akal, C., Romer, R.L., Foley, S.F., 2010. Lamproites as indicators of accretion and/or shallow subduction in the assembly of South-western Anatolia, Turkey. *Terra Nova*, 22, 443-452.

- Ronner, F., 1962, Sandıklı ovası çöküntüsü, genç tektonik ve volkanik durumlar: MTA Derg., 59, 69-88, Ankara.
- Savaşçın, M.Y., 1990. Magmatic activities of Cenozoic Compressional and Extentional Tectonic in Western Anatolia, IESCA, İzmir-Turkey, 420-435.
- Sun, S.S., ve McDonough, W.F., 1989. Chemical and isotopic systematics of oceanic basalts: implications for mantle composition and processes, in Saunders, A.D., Norry, M.J., Eds., Magmatism in ocean basins, Journal of the Geological Society, London, 42, p. 313-347.
- Van Bergen, M.J., Vroon, P.Z., Varekamp, J.C., Poorter, R.P.E., 1992. The origin of the potassic rock suite from Batu Tara volcano (East Sunda Arc, Indonesia), Lithos, 28, 261-282.
- Yağmurlu, F., Savaşçın, M.Y., Ergun, M., 1997. Relation of alkaline volcanism and active tectonism within the evolution of Isparta Angle, SW Turkey Journal of Geology, 105: 717-728

## EKLER

EK-1. İnceleme alanının jeolojik haritası

## ÖZGEÇMİŞ



Adı Soyadı : Halil İbrahim CESUR  
Doğum Yeri ve Yılı: ISPARTA 1983  
Medeni Hali : Evli  
Yabancı Dili : İngilizce

### Eğitim Durumu (Kurum ve Yıl)

Lise : Milli Piyango Anadolu Lisesi (1998-2001)  
Lisans : Süleyman Demirel Üniversitesi  
                  Mühendislik-Mimarlık Fakültesi  
                  Jeoloji Mühendisliği Bölümü (2001-2005)  
Yüksek Lisans : Süleyman Demirel Üniversitesi  
                  Fen Bilimleri Enstitüsü  
                  Jeoloji Mühendisliği Anabilim Dalı (2008-2011)

### Çalıştığı Kurum/Kurumlar ve Yıl:

Mardin Emniyet Müdürlüğü

# SENİRKENT (ISPARTA) KUZEYİNİN JEOLOJİ HARİTASI

